

Die Fourier-Transformation

Lernziel der 7. Lerneinheit:

WP 3 – Fourier-Transformation

In der 7. Lerneinheit erweitert wir die Frequenzbereichsdarstellung von periodischen Signalen auf nicht-periodische Signale.

- Wir erreichen diese Erweiterung indem wir die Periodendauer sukzessive vergrößern und ins „Unendliche“ laufen lassen.
- Wir stellen fest, dass dabei benachbarte Frequenzlinien immer näher aneinander rücken, aus der Summation ein Integral und aus dem Linienspektrum eine kontinuierliche Funktion wird.
- Die Fourier-Transformierte $X(j\omega)$ an der Frequenz ω ist ein Korrelationsmaß dafür, wie ähnlich das Zeitsignal $x(t)$ mit der orthogonalen Basisfunktion $e^{j\omega t}$ an der Frequenz ω ist.
- Das Betragsspektrum $|X(j\omega)|$ gibt an mit welcher Intensität die Frequenz ω im Signal $x(t)$ enthalten ist.
- Der Phasengang $\arg(X(j\omega))$ gibt die relative Phasenlage des Signals $x(t)$ im Bezug auf die Basisfunktion $e^{j\omega t}$ an.

Die Fourier-Transformation

Ein periodisches Signal $x(t)$ mit der Periodendauer T_0 und Grundfrequenz $\omega_0 = \frac{2\pi}{T_0}$ lässt sich als exponentielle Fourierreihe schreiben:

$$x(t) = \sum_{n=-\infty}^{\infty} X_n e^{j\omega_0 n t}$$

mit

$$X_n = \frac{1}{T_0} \int_{-\frac{T_0}{2}}^{\frac{T_0}{2}} x(t) e^{-j\omega_0 n t} dt.$$

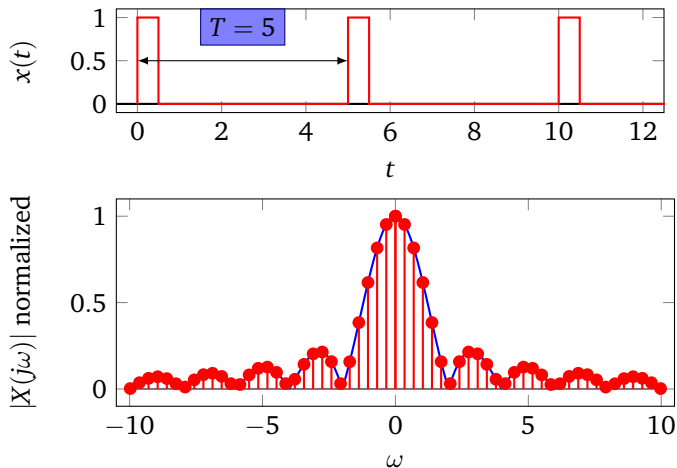
Die Fourierreiheentwicklung lässt sich nur auf periodische Signale anwenden.

Praktische Signale sind jedoch meist nichtperiodisch.

Die Fourier-Transformation

- Für Periodendauer $T_0 \rightarrow \infty$ erweitert sich die exponentielle Fourierreihenentwicklung auf nichtperiodische Signale.
- Der Abstand der Frequenzlinien im Linienspektrum, d.h. $\omega_0 = 2\pi/T_0$ läuft gegen infinitesimal kleine Werte $d\omega$ und die Folge $n\omega_0$ diskreter Vielfacher der Grundfrequenz $\omega_0 = 2\pi/T_0$ nähert sich dem kontinuierlichen Parameter ω an.
- Die Fourier-Transformation ergibt sich, indem man in der Fourierreihenentwicklung die diskrete Summe durch ein Integral ersetzt.
- Das Betragspektrum (Amplitudenspektrum) der Fourier-Transformierten bildet dann quasi die Einhüllende des Betragspektrums (Linienspektrums) der Fourierreihenentwicklung.

Die Fourier-Transformation



Die Fourier-Transformation

Durch Einsetzen der Fourierkoeffizienten in die Fourierreihenentwicklung ergibt sich:

$$x(t) = \sum_{n=-\infty}^{\infty} e^{j\omega_0 n t} \left[\frac{\omega_0}{2\pi} \int_{-\frac{T_0}{2}}^{\frac{T_0}{2}} x(\tau) e^{-j\omega_0 n \tau} d\tau \right].$$

Für $T_0 \rightarrow \infty$, ergibt sich $\omega_0 = \frac{2\pi}{T_0} \rightarrow d\omega$ und $n\omega_0 \rightarrow \omega$.

Aus der Summe in der orbrigen Gleichung wird dann ein **Integral**:

$$x(t) = \int_{-\infty}^{\infty} e^{j\omega t} \left[\int_{-\infty}^{\infty} x(\tau) e^{-j\omega \tau} d\tau \right] \frac{d\omega}{2\pi}$$

Die Fourier-Transformation

Das innere Integral ist eine Funktion in $j\omega$ und hängt nicht von t ab.

Wir bezeichnen das innere Integral als $X(j\omega)$.

Es ergibt sich das Transformations-Paar:

$$\text{Fourier-Transformation} \quad X(j\omega) = \int_{-\infty}^{\infty} x(t)e^{-j\omega t} dt.$$

$$\text{Inverse Fourier-Transformation} \quad x(t) = \frac{1}{2\pi} \int_{-\infty}^{\infty} X(j\omega)e^{j\omega t} d\omega$$

Die Fourier-Transformation

Die Fourier-Transformierte

Fourier-Transformation $X(j\omega) = \int_{-\infty}^{\infty} x(t)e^{-j\omega t} dt.$

ist ein Korrelationsmaß dafür wie ähnlich das Zeitsignal $x(t)$ zu der Basisfunktion $e^{j\omega t}$ bei der Frequenz ω ist.

Fourier-Transformation

Fourier-Transformation

$$X(j\omega) = \mathcal{F}\{x(t)\} \quad \text{Transformation in den Frequenzbereich}$$

Inverse Fourier-Transformation

$$x(t) = \mathcal{F}^{-1}\{X(j\omega)\} \quad \text{Transformation in den Zeitbereich}$$

Das Transformationspaar (die Korrespondenz) aus Zeitbereichsfunktion und zugehöriger Frequenzbereichsfunktion wird allgemein mit dem Symbol “ $\circ \longrightarrow \bullet$ ” dargestellt:

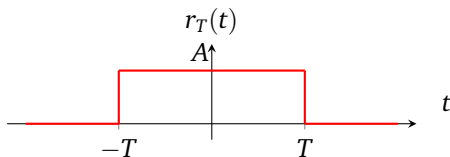
$$x(t) \circ \longrightarrow \bullet X(j\omega)$$

Fourier-Transformation

Beispiel: Rechtecksimpuls

Rechtecksimpuls:

$$Ar_T(t) = \begin{cases} A, & |t| \leq T \\ 0, & |t| > T \end{cases}$$



Fourier-Transformierte

$$\begin{aligned} X(j\omega) &= \int_{-\infty}^{\infty} x(t)e^{-j\omega t} dt = A \int_{-T}^T e^{-j\omega t} dt = \frac{jA}{\omega} (e^{-j\omega T} - e^{j\omega T}) \\ &= \frac{2A}{\omega} \sin(\omega T) = 2AT \operatorname{si}(\omega T) = 2AT \operatorname{sinc}(\omega T / \pi) \end{aligned}$$

Fourier-Transformation

Beispiel: Rechtecksimpuls

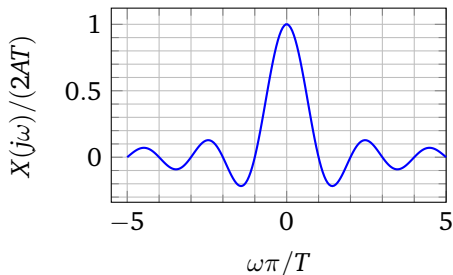


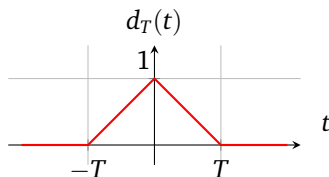
Abbildung: Spektrum $X(j\omega) = 2AT\text{sinc}(\omega T/\pi)$ des Rechtecksimpulses.

Fourier-Transformierte $X(j\omega)$ des **Rechtecksimpulses** ist ähnlich zu Fourierreihenentwicklung c_n bzw. X_n .

Fourier-Transformation

Beispiel: Dreiecksimpuls

$$d_T(t) = \begin{cases} 1 - \frac{|t|}{T}, & |t| \leq T \\ 0, & |t| > T \end{cases}$$



Die Höhe des Pulses ist auf Eins normiert und der Puls um $t = 0$ zentriert. Die Breite des Pulses beträgt $2T$.

$$\begin{aligned} X(j\omega) &= \int_{-\infty}^{\infty} d_T(t) e^{-j\omega t} dt = \int_{-T}^0 \left(1 + \frac{t}{T}\right) e^{-j\omega t} dt + \int_0^T \left(1 - \frac{t}{T}\right) e^{-j\omega t} dt \\ &= \int_0^T \left(1 - \frac{t}{T}\right) e^{j\omega t} dt + \int_0^T \left(1 - \frac{t}{T}\right) e^{-j\omega t} dt = 2 \int_0^T \left(1 - \frac{t}{T}\right) \cos(\omega t) dt \end{aligned}$$

Fourier-Transformation

Beispiel: Dreiecksimpuls

Integral:
$$\int t \cos(at) dt = \frac{1}{a^2} [\cos(at) + at \sin(at)]$$

Nach Umformungen und mit Additionstheorem $\sin^2(x) = \frac{1}{2}(1 - \cos 2x)$ folgt

$$X(j\omega) = T \sin^2\left(\frac{T\omega}{2}\right)$$

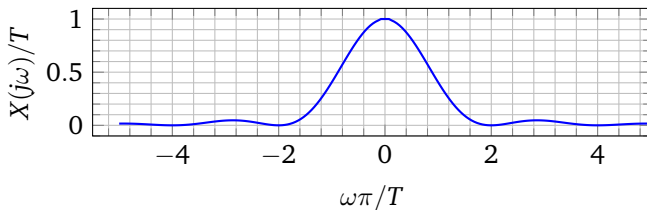


Abbildung: Spektrum $X(j\omega)$ des Dreiecksimpulses.

Fourier-Transformation

Beispiel: Einheitsimpulses $\frac{1}{2\pi} \int_{-\infty}^{\infty} e^{j\omega t} d\omega$

Gemäß der Definition des Einheitsimpulses

$$\mathcal{F}\{\delta(t)\} = \int_{-\infty}^{\infty} \delta(t) e^{-j\omega t} dt = 1$$

Rücktransformation

$$\begin{aligned}\delta(t) &= \frac{1}{2\pi} \int_{-\infty}^{\infty} e^{j\omega t} d\omega \\ &= \frac{1}{2\pi} \lim_{\alpha \rightarrow \infty} \int_{-\alpha}^{\alpha} e^{j\omega t} d\omega \\ &= \frac{1}{\pi} \lim_{\alpha \rightarrow \infty} \frac{\sin(\alpha t)}{t} = \lim_{\alpha \rightarrow \infty} \frac{\alpha}{\pi} \operatorname{sinc} \frac{\alpha t}{\pi}\end{aligned}$$

Wir erinnern uns: $\frac{1}{2\pi} \int_{-\infty}^{\infty} e^{j\omega t} d\omega$ verhält sich wie der Einheitsimpuls $\delta(t)$.

Fourier-Transformation

Beispiel: Einheitsimpulses $\frac{1}{2\pi} \int_{-\infty}^{\infty} e^{j\omega t} d\omega$

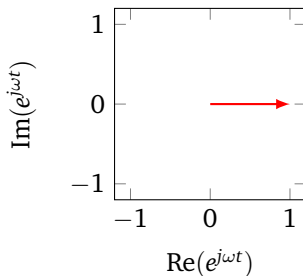


Abbildung: Komplexe Ebene $t = 0$, $\omega = 0 \cdot d\omega, \dots, 256 \cdot d\omega$.

Für $t = 0$ zeigen alle Zeiger in Richtung $1 = e^{j0}$ und werden kohärent aufsummiert.

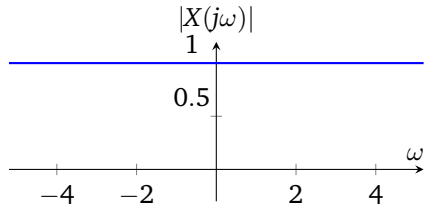
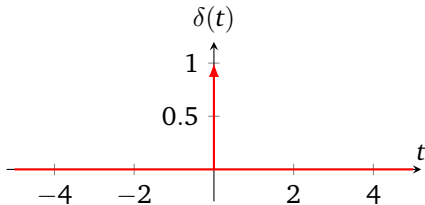
Summe (bzw. das Integral) ist ungleich Null.

Animation: fig-06-anim2-einheitsimp.pdf

Fourier-Transformation

Beispiel: Einheitsimpulses $\frac{1}{2\pi} \int_{-\infty}^{\infty} e^{j\omega t} d\omega$

$$\delta(t) \circ \bullet 1$$

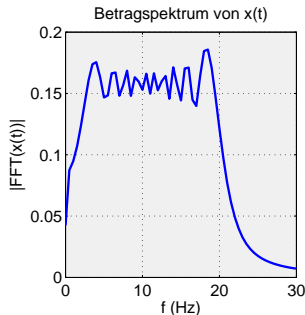
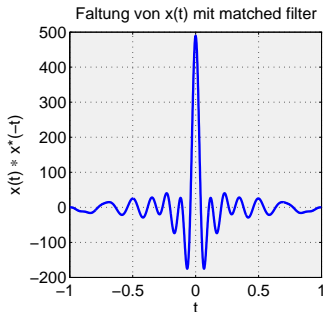
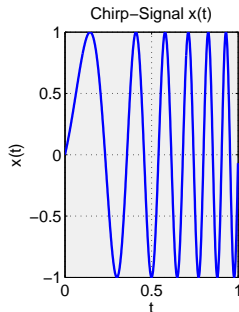


Fourier-Transformation

Beispiel: Chirp-Signal

Ein idealer **Einheitsimpuls** mit konstantem Betragsspektrum ist in Praxis technisch nicht realisierbar. In Ultraschall- und Radar-Anwendungen werden Chirp-Signale und passende Empfangsfilter verwendet. Das Verfahren wird **Pulskompression** genannt.

$$x(t) = \sin(2\pi(f_0 + f_1 t)t)$$



Konvergenz der Fourier-Transformation

- Die Fourierreihenentwicklung eines periodischen Signals konvergiert nicht überall gleichmäßig bzw. punktweise.
- Erfüllt das Signal die **Dirichlet Bedingungen**, ist die Konvergenz der Reihe garantiert.
- Entsprechend gilt auch für Fourier-Transformation, dass diese nicht notwendigerweise für alle Signale konvergiert.

Die **Dirichlet Bedingungen** sind **hinreichend** (nicht notwendig) für die **Konvergenz der Fourier-Transformation**.

Konvergenz der Fourier-Transformation:

Dirichlet Bedingung 1

1. Das Signal $x(t)$ ist **absolut integrierbar**.

$$\int_{-\infty}^{\infty} |x(t)| dt < \infty$$

Aus der Dreiecksungleichung ($|\int a| \leq \int |a|$) folgt damit:

$$|X(j\omega)| = \left| \int x(t) e^{-j\omega t} dt \right| \leq \int |x(t)| dt < \infty.$$

Wenn die Bedingung der **absoluten Integrierbarkeit** erfüllt ist, dann ist die Fourier-Transformierte $X(j\omega)$ begrenzt (d.h., die Fourier-Transformation lässt sich berechnen und sie nimmt an allen Frequenzen ω endliche Werte an).

Konvergenz der Fourier-Transformation:

Dirichlet Bedingung 2

2. Das Signal $x(t)$ erfüllt bestimmte **Regularitätsbedingungen**:

- $x(t)$ stückweise stetig
- die Anzahl aller Sprungstellen, Unstetigkeiten, Maxima und Minima von $x(t)$ ist endlich.

Konsequenzen der Dirichlet Bedingungen

- Die Dirichlet Bedingungen schliessen per se die wichtige Klasse der **sinusförmigen Signale** bzw. der **komplexen Exponentialfunktionen** aus, da diese **nicht absolut integrierbar** sind.
- Die Fourier-Transformierten dieser Signale lassen sich jedoch mithilfe der **verallgemeinerten Funktionen** (z.B. der Impulsfunktion) darstellen.

Fourier-Transformation im Grenzbereich

- Bestimmte Signale, wie z.B. $x(t) = \sin(\omega_0 t)$, sind nicht absolut integrierbar und erfüllen die Dirichlet-Bedingungen daher nicht.
- Für die Frequenzbereichsdarstellung dieser Signale erweitern wir die Definition der Fourier-Transformation um die Fourier-Transformation im Grenzbereich.

Beispiel: Das konstante Signal $x(t) = A$, mit $A \neq 0$.

Das Signal $x(t) = A$ ist nicht absolut integrierbar.

Frage: Existiert dennoch die Fourier-Transformierte von $x(t) = A$?

Fourier-Transformation

Beispiel: Konstante Funktion $x(t) = A$

Ansatz: Das Signal $x(t) = A$ wird durch eine Funktion **approximiert**, für die eine **Fourier-Transformierte** existiert. Dazu eignet sich die Rechtecksfunktion $Ar_{\frac{\epsilon}{2}}(t)$.

Wenn wir die Breite ϵ der Rechtecksfunktion gegen „Unendlich“ laufen lassen, dann gilt unter bestimmten **Regularitätsbedingungen**, dass wir die Integration bei der Berechnung der Fourier-Transformierten und die Grenzwertbildung vertauschen können:

$$\begin{aligned}x(t) &= \lim_{\epsilon \rightarrow \infty} Ar_{\frac{\epsilon}{2}}(t) \\X(j\omega) &= \lim_{\epsilon \rightarrow \infty} \mathcal{F}\{Ar_{\frac{\epsilon}{2}}(t)\}.\end{aligned}$$

Die Fourier-Transformierte der Rechtecksfunktion ist bekannt:

$$\mathcal{F}\{Ar_{\frac{\epsilon}{2}}(t)\} = \frac{2A}{\omega} \sin\left(\frac{\omega \cdot \epsilon}{2}\right) = A \cdot \epsilon \cdot \operatorname{sinc}\left(\frac{\omega \cdot \epsilon}{2\pi}\right)$$

Fourier-Transformation

Beispiel: Konstante Funktion $x(t) = A$

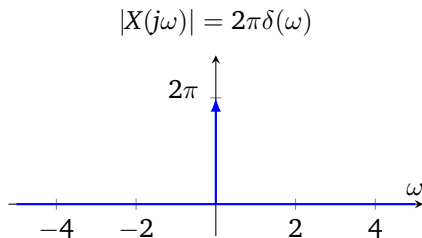
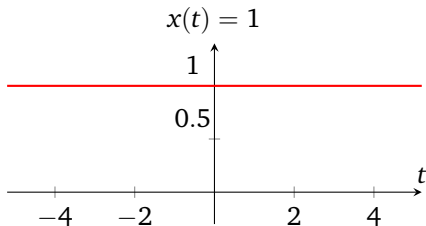
Aus Definition des Einheitsimpulses erhalten wir

$$X(j\omega) = \mathcal{F}\{x(t)\} = \lim_{\epsilon \rightarrow \infty} \int_{-\epsilon/2}^{\epsilon/2} A e^{-j\omega t} dt = \lim_{\epsilon \rightarrow \infty} A \cdot \epsilon \cdot \text{sinc}\left(\frac{\omega \cdot \epsilon}{2\pi}\right) = 2\pi A \delta(\omega)$$

Fourier-Transformation

Beispiel: Konstante Funktion $x(t) = A$

$$1 \circ \longrightarrow \bullet 2\pi\delta(\omega)$$



Fourier-Transformation

Beispiel: komplexe Exponentialfunktion

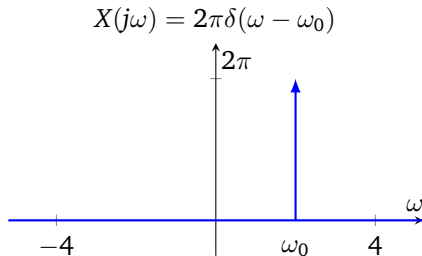
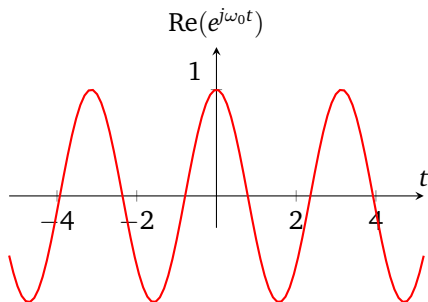
$$\begin{aligned}x(t) &= e^{j\omega_0 t} \\X(j\omega) &= \int_{-\infty}^{\infty} e^{j\omega_0 t} e^{-j\omega t} dt \\&= \int_{-\infty}^{\infty} e^{-j(\omega - \omega_0)t} dt \\&= 2\pi\delta(\omega - \omega_0)\end{aligned}$$

Das Ergebnis ist nicht überraschend, da das Signal $e^{j\omega t}$ seine gesamte Energie an der Kreisfrequenz ω_0 konzentriert.

Fourier-Transformation

Beispiel: komplexe Exponentialfunktion

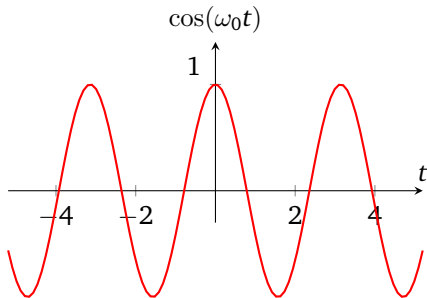
$$e^{j\omega_0 t} \quad \circ \longrightarrow \bullet \quad 2\pi\delta(\omega - \omega_0)$$



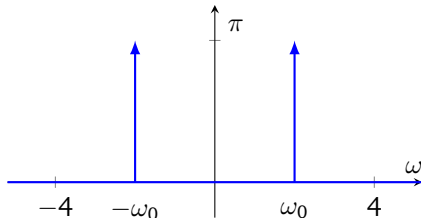
Fourier-Transformation

Beispiel: Trigonometrische Funktion

$$\cos(\omega_0 t) = \frac{1}{2}(e^{j\omega t} + e^{-j\omega t}) \longleftrightarrow \pi[\delta(\omega - \omega_0) + \delta(\omega + \omega_0)]$$



$$X(j\omega) = \pi[\delta(\omega - \omega_0) + \delta(\omega + \omega_0)]$$



Beispiel: Beidseitige gedämpfte Exponentialfunktion

Das reellwertige Signal:

$$x(t) = \begin{cases} e^{-at}, & t \geq 0; \\ -e^{at}, & t < 0. \end{cases}, \quad a > 0$$

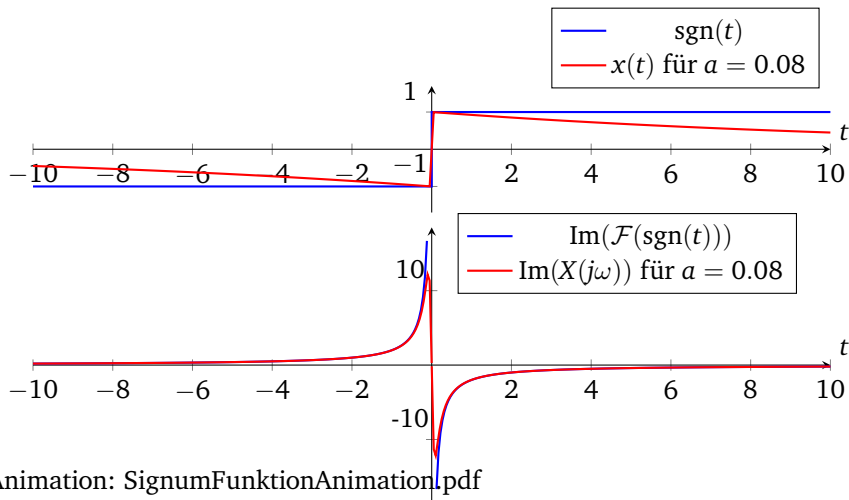
Fourier-Transformierte:

$$\mathcal{F}\{x(t)\} = \int_{-\infty}^0 -e^{at} e^{-j\omega t} dt + \int_0^{\infty} e^{-at} e^{-j\omega t} dt = -\frac{1}{a - j\omega} + \frac{1}{a + j\omega} = -\frac{j \cdot 2\omega}{a^2 + \omega^2}$$

Für $a \rightarrow 0$ ergibt sich

$$\mathcal{F}\{\operatorname{sgn}(t)\} = \lim_{a \rightarrow 0} -\frac{j \cdot 2\omega}{a^2 + \omega^2} = \frac{2}{j\omega}$$

Beispiel: Beidseitige gedämpfte Exponentialfunktion

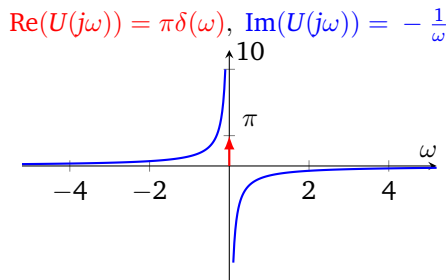
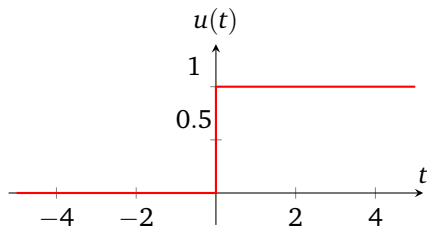


Animation: SignumFunktionAnimation.pdf

Fourier-Transformation

Beispiel: Signum Funktion

$$u(t) \longleftrightarrow \pi\delta(\omega) + \frac{1}{j\omega}$$



Fourier-Transformation

Auszug aus der Korrespondenztabelle

	$x(t)$	$X(j\omega)$	
1.	$e^{-at}u(t)$	$\frac{1}{a+j\omega},$	$a > 0$
2.	$e^{at}u(-t)$	$\frac{1}{a-j\omega},$	$a > 0$
3.	$te^{-at}u(t)$	$\frac{1}{(a+j\omega)^2},$	$a > 0$
4.	$t^n e^{-at}u(t)$	$\frac{n!}{(a+j\omega)^{n+1}},$	$a > 0$
5.	$ t $	$-\frac{2}{\omega^2}$	
6.	$\delta(t)$	1	
7.	1	$2\pi\delta(\omega)$	
8.	$e^{j\omega_0 t}$	$2\pi\delta(\omega - \omega_0)$	
9.	$\cos(\omega_0 t)$	$\pi[\delta(\omega + \omega_0) + \delta(\omega - \omega_0)]$	
10.	$\sin(\omega_0 t)$	$j\pi[\delta(\omega + \omega_0) - \delta(\omega - \omega_0)]$	
11.	$\cos(\omega_0 t)u(t)$	$\frac{\pi}{2}[\delta(\omega - \omega_0) + \delta(\omega + \omega_0)] + \frac{j\omega}{\omega_0^2 - \omega^2}$	
12.	$\sin(\omega_0 t)u(t)$	$\frac{\pi}{2j}[\delta(\omega - \omega_0) - \delta(\omega + \omega_0)] + \frac{\omega_0}{\omega_0^2 - \omega^2}$	
13.	$e^{-at} \sin(\omega_0 t)u(t)$	$\frac{\omega_0}{(a+j\omega)^2 + \omega_0^2},$	$a > 0$
14.	$e^{-at} \cos(\omega_0 t)u(t)$	$\frac{a+j\omega}{(a+j\omega)^2 + \omega_0^2},$	$a > 0$
15.	$\sum_{n=-\infty}^{\infty} \delta(t - nT)$	$\omega_0 \sum_{n=-\infty}^{\infty} \delta(\omega - n\omega_0),$	$\omega_0 = \frac{2\pi}{T}$
16.	$e^{-\frac{t^2}{2\sigma^2}}$	$\sigma\sqrt{2\pi}e^{-\frac{\sigma^2\omega^2}{2}}$	

Eigenschaften der Fourier-Transformation

Die Energiedichtefunktion

Wir haben die Energie eines Signals $x(t)$ bereits im Zeitbereich definiert:

$$E = \int_{-\infty}^{\infty} |x(t)|^2 dt$$

Signale für die $E < \infty$ gilt sind **energiebegrenzt**.

Wir interessieren uns für einen Ausdruck zur Berechnung der Signalenergie im Frequenzbereich.

$$\begin{aligned} E &= \int_{-\infty}^{\infty} |x(t)|^2 dt = \int_{-\infty}^{\infty} x^*(t)x(t) dt \\ &= \int_{-\infty}^{\infty} x^*(t) \left[\frac{1}{2\pi} \int_{-\infty}^{\infty} X(j\omega) e^{j\omega t} d\omega \right] dt = \frac{1}{2\pi} \int_{-\infty}^{\infty} X(j\omega) \int_{-\infty}^{\infty} x^*(t) e^{j\omega t} dt d\omega \\ &= \frac{1}{2\pi} \int_{-\infty}^{\infty} X(j\omega) \left[\int_{-\infty}^{\infty} x(t) e^{-j\omega t} dt \right]^* d\omega \end{aligned}$$

Energiedichtefunktion und Parseval's Theorem

$$E = \frac{1}{2\pi} \int_{-\infty}^{\infty} X(j\omega) X^*(j\omega) d\omega = \frac{1}{2\pi} \int_{-\infty}^{\infty} |X(j\omega)|^2 d\omega$$

und

$$E = \int_{-\infty}^{\infty} |x(t)|^2 dt = \frac{1}{2\pi} \int_{-\infty}^{\infty} |X(j\omega)|^2 d\omega$$

Energiedichtefunktion und Parseval's Theorem

$$E = \frac{1}{2\pi} \int_{-\infty}^{\infty} X(j\omega) X^*(j\omega) d\omega = \frac{1}{2\pi} \int_{-\infty}^{\infty} |X(j\omega)|^2 d\omega$$

$$E = \int_{-\infty}^{\infty} |x(t)|^2 dt = \frac{1}{2\pi} \int_{-\infty}^{\infty} |X(j\omega)|^2 d\omega$$

- Das Betragssignal $|X(j\omega)|^2$ ist die **spektrale Energiedichtefunktion** von $x(t)$.
- Die **Integration** der spektralen Energiedichtefunktion über den gesamten Frequenzbereich ergibt die **Gesamtenergie**.
- Die Signalenergie in einem **begrenzten Frequenzband**, z.B. $\omega \in [\omega_1, \omega_2]$, berechnet sich durch Integration der Spektralen Energiedichtefunktion über das Intervall $[\omega_1, \omega_2]$.
- Das Betragssignal $|x(t)|^2$ hingegen wird als **Momentanleistung** bezeichnet.

Beispiel: Energie einer einseitigen gedämpften Exponentialfunktion

$$x(t) = e^{-at}u(t), \quad a > 0$$

Es ist bekannt, dass

$$X(j\omega) = \int_0^{\infty} e^{-(a+j\omega)t} dt = \frac{-1}{a+j\omega} \left[e^{-(a+j\omega)t} \right]_0^{\infty} = \frac{1}{a+j\omega}.$$

Gesamtenergie des Signals

$$\begin{aligned} E &= \frac{1}{2\pi} \int_{-\infty}^{\infty} |X(j\omega)|^2 d\omega \\ &= \frac{1}{2\pi} \int_{-\infty}^{\infty} \frac{1}{a^2 + \omega^2} d\omega = \frac{1}{2\pi} \left[\frac{1}{a} \arctan \frac{\omega}{a} \right]_{-\infty}^{\infty} = \frac{1}{2\pi a} \left[\frac{\pi}{2} + \frac{\pi}{2} \right] = \frac{1}{2a} \end{aligned}$$

In diesem Fall ist es einfacher, die Signalenergie im Zeitbereich zu berechnen.

Lernziel der 8. Lerneinheit: WP 3 – Eigenschaften der Fourier-Transformation

In der 8. Lerneinheit untersuchen wir allgemeine Zusammenhänge zwischen der Signaldarstellung im Zeit- und Frequenzbereich.

- Dabei wenden wir jeweils Operationen (wie z.B. eine Zeitverschiebung oder die komplexe Konjugation) auf das Zeitsignal $x(t)$ an und untersuchen wie sich diese Operationen auf die zugehörige Fourier-Transformierte $X(j\omega)$ auswirken und umgekehrt.
- Die Eigenschaften der Fourier-Transformation die wir dabei herleiten sind sowohl bei der Analyse von Signalen und Systemen im Frequenzbereich als auch bei der praktischen Berechnung der Fourier-Transformation oder der Systemantwort sehr hilfreich.

Eigenschaften der Fourier-Transformation

- Als nächstes leiten wir wichtige allgemeine Eigenschaften für die Fourier-Transformation her.
- Ausgangslage für die Herleitung der Eigenschaften ist immer ein gegebenes Transformationspaar (Korrespondenz)

$$x(t) \quad \circ \longrightarrow \bullet \quad X(j\omega)$$

auf das im Zeitbereich (oder im Frequenzbereich) eine Operation angewendet wird.

- Ziel ist es die entsprechende Operation im dualen Bereich, d.h. im Frequenzbereich, (bzw. Zeitbereich) anzugeben.

Eigenschaften der Fourier-Transformation

- Die allgemeinen Eigenschaften der Fourier-Transformation sind für das Verständnis von Signalen und Systemen in praktischen Anwendungen fundamental wichtig.
- Die allgemeinen Eigenschaften ermöglichen uns in vielen Fällen eine einfache Berechnung der Fourier-Transformierten durchzuführen, ohne jeweils das Transformationsintegral auswerten zu müssen.
- Voraussetzung ist, dass ein geeignetes Transformationspaar gegeben ist (z.B. in der Korrespondenztabelle) und dazu eine entsprechend geeignete Operation, sodass sich das Fourier-Transformierte des gesuchten Signals damit darstellen lässt.

Eigenschaften der Fourier-Transformation:

Linearität

Linearität (Superposition):

Wenn

$$x_1(t) \quad \circ \text{---} \bullet \quad X_1(j\omega)$$

$$x_2(t) \quad \circ \text{---} \bullet \quad X_2(j\omega)$$

dann gilt für beliebige Konstanten a und b :

$$a x_1(t) + b x_2(t) \quad \circ \text{---} \bullet \quad a X_1(j\omega) + b X_2(j\omega)$$

Eigenschaften der Fourier-Transformation:

Linearität

Herleitung: Mit $g(t) = a x_1(t) + b x_2(t)$ und $g(t) \circ \longrightarrow G(j\omega)$, folgt aus der Definition der Fourier-Transformation (FT), dass

$$\begin{aligned} G(j\omega) &= \int_{-\infty}^{\infty} [a x_1(t) + b x_2(t)] e^{-j\omega t} dt \\ &= \int_{-\infty}^{\infty} a x_1(t) e^{-j\omega t} dt + \int_{-\infty}^{\infty} b x_2(t) e^{-j\omega t} dt \\ &= a \int_{-\infty}^{\infty} x_1(t) e^{-j\omega t} dt + b \int_{-\infty}^{\infty} x_2(t) e^{-j\omega t} dt \\ &= a X_1(j\omega) + b X_2(j\omega) \end{aligned}$$

Eigenschaften der Fourier-Transformation:

Zeitverschiebung

Zeitverschiebung eines Zeitsignals $x(t)$ um t_0 :

$$x(t - t_0) \circ \longrightarrow \bullet X(j\omega)e^{-j\omega t_0}$$

für eine reellwertige Konstante t_0 .

Herleitung: Es sei $g(t) = x(t - t_0) \Rightarrow G(j\omega) = \int_{-\infty}^{\infty} x(t - t_0)e^{-j\omega t} dt$

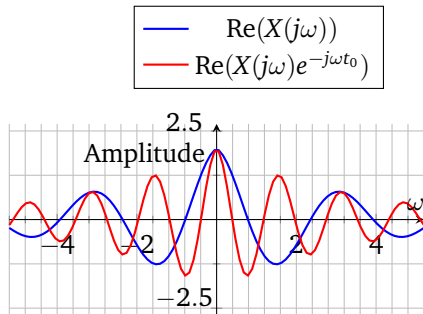
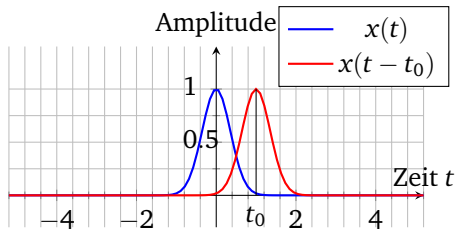
Unter Verwendung der Variablentransformation $\tau = t - t_0$ bzw. $t = \tau + t_0$ ergibt sich

$$G(j\omega) = \int_{-\infty}^{\infty} x(\tau)e^{-j\omega(\tau+t_0)} d\tau = \int_{-\infty}^{\infty} x(\tau)e^{-j\omega\tau} d\tau e^{-j\omega t_0} = X(j\omega)e^{-j\omega t_0}$$

Eigenschaften der Fourier-Transformation:

Zeitverschiebung

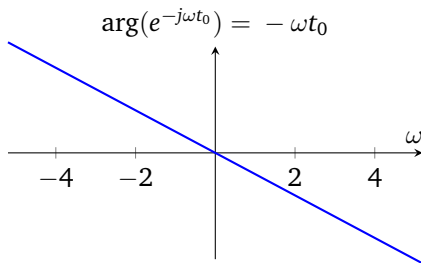
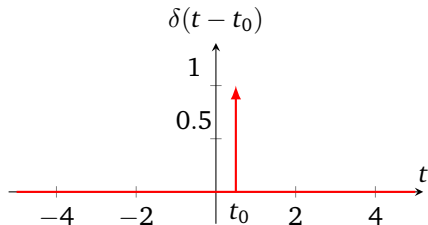
$$x(t - t_0) \circ \bullet X(j\omega)e^{-j\omega t_0}$$



Eigenschaften der Fourier-Transformation

Zeitverschiebung der Impulsfunktion $\delta(t)$

$$\delta(t - t_0) \quad \circ \text{---} \bullet \quad e^{-j\omega t_0}$$



Beispiel: Pfadverzögerung im OFDM System

Wir betrachten eine OFDM Übertragungsstrecke im Mobilfunk. Gesendet wird das Signal $x(t) = \sum_{n=1}^N A_n e^{j\omega_n t}$.

Die Informationssymbole A_n werden für $n = 1, \dots, N$ auf die jeweiligen Trägersignale $e^{j\omega_n t}$ bei den Frequenzen $\omega_1, \dots, \omega_N$ aufmoduliert.

Am Empfänger ergibt sich das Signal

$$y(t) = x(t - t_0) = \sum_{n=1}^{N-1} \underbrace{A_n}_{\text{Symbol}} \cdot \underbrace{e^{j\omega_n(t-t_0)}}_{\text{Träger}} = \sum_{n=1}^{N-1} \underbrace{A_n e^{-j\omega_n t_0}}_{\text{rotiertes Symbol}} e^{j\omega_n t}$$
$$\circ \longrightarrow \bullet \quad Y(j\omega) = X(j\omega) e^{-j\omega t_0} = \sum_{n=1}^N A_n e^{-j\omega t_0} \delta(\omega - \omega_n)$$

Die Zeitverzögerung am Empfänger führt zu einer frequenzabhängigen Phasendrehung der Informationssymbole A_n .

Beispiel: Pfadverzögerung im OFDM System

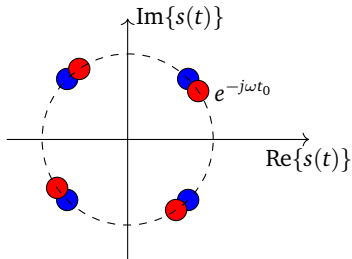
Die Zeitverzögerung t_0 muss geschätzt werden und die Rotation der empfangenen Symbole müssen entsprechend korrigiert werden.

Sendesignal (blau)

$$X(j\omega) = \sum_{n=1}^{N-1} \underbrace{A_n}_{\text{Symbol}} \delta(\omega - \omega_n)$$

Empfängersignal (rot)

$$\begin{aligned} Y(j\omega) &= X(j\omega)e^{-j\omega t_0} \\ &= \sum_{n=1}^N \underbrace{A_n e^{-j\omega t_0}}_{\text{rotiertes Symbol}} \delta(\omega - \omega_n) \end{aligned}$$



QPSK Konstellationsdiagramm

Eigenschaften der Fourier-Transformation: Zeitskalierung

Skalierung des Zeitparameters um den reellwertigen Faktor a :

$$x(at) \circ \bullet \frac{1}{|a|} X\left(\frac{j\omega}{a}\right).$$

Eigenschaften der Fourier-Transformation:

Zeitskalierung

Herleitung: Mit $g(t) = x(at)$

$$G(j\omega) = \int_{-\infty}^{\infty} x(at)e^{-j\omega t} dt$$

Fall 1: Für $a > 0$ und die Substitution $\tau = at$ bzw $\tau/a = t$ ergibt sich

$$\begin{aligned} G(j\omega) &= \int_{-\infty}^{\infty} x(\tau)e^{\frac{-j\omega\tau}{a}} \frac{d\tau}{a} \\ &= \frac{1}{a} \int_{-\infty}^{\infty} x(\tau)e^{-j\left(\frac{\omega}{a}\right)\tau} d\tau = \frac{1}{a} X\left(\frac{j\omega}{a}\right). \end{aligned}$$

Eigenschaften der Fourier-Transformation:

Zeitskalierung

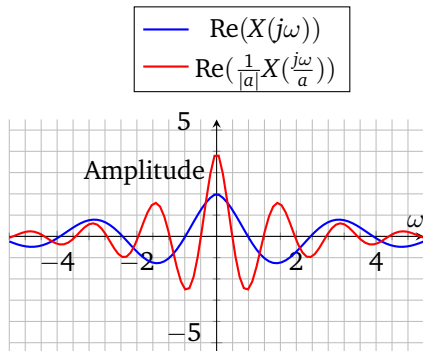
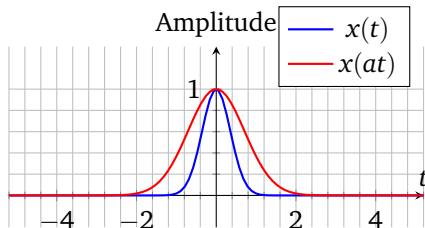
Fall 2: Für $a < 0$ und die Substitution $\tau = at$ bzw $\tau/a = t$ ergibt sich mit geänderten Integrationsgrenzen:

$$\begin{aligned} G(j\omega) &= \int_{\infty}^{-\infty} x(\tau) e^{\frac{-j\omega\tau}{a}} \frac{d\tau}{a} \\ &= -\frac{1}{a} \int_{-\infty}^{\infty} x(\tau) e^{-j(\frac{\omega}{a})\tau} d\tau = -\frac{1}{a} X\left(\frac{j\omega}{a}\right) \end{aligned}$$

Die Kombination beider Fälle liefert Ergebnis.

Eigenschaften der Fourier-Transformation: Zeitskalierung

$$x(at) \circ \bullet \frac{1}{|a|} X\left(\frac{j\omega}{a}\right)$$



Eigenschaften der Fourier-Transformation:

Zeit-Spiegelung

Ein am Zeitursprung **gespiegeltes Signal** $x(t)$ hat folgende Fourier-Transformierte:

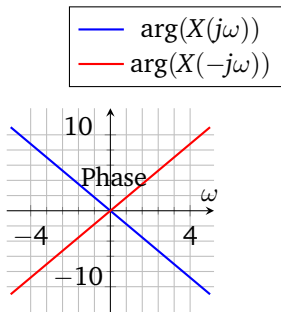
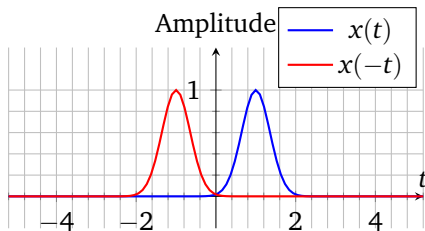
$$x(-t) \quad \circ \text{---} \bullet \quad X(-j\omega) \quad (= X^*(j\omega), \quad \text{falls } x(t) \text{ reell.})$$

Die **Herleitung**: folgt direkt aus Skalierungseigenschaft für $a = -1$.

Eigenschaften der Fourier-Transformation:

Zeit-Spiegelung

$$x(-t) \longleftrightarrow X(-j\omega)$$



Eigenschaften der Fourier-Transformation: Dualität

Wir erkennen, dass die **Fourier-Transformation** und die **Inverse Fourier-Transformation** gewisse Gemeinsamkeiten zueinander aufweisen.

Hin- und Rücktransformation der Fourier-Transformation erfüllen die **Dualitätsbeziehung** (Symmetriebeziehung):

$$X(jt) \longleftrightarrow 2\pi x(-\omega)$$

Herleitung:

$$2\pi x(t) = \int_{-\infty}^{\infty} X(j\lambda) e^{j\lambda t} d\lambda$$

Ein Vergleich mit Definition der Fourier-Transformation

$$X(j\omega) = \int_{-\infty}^{\infty} x(t) e^{-j\omega t} dt$$

ergibt, dass beide Ausdrücke bis auf **Minus (–) Zeichen** im Exponenten identisch sind.

Eigenschaften der Fourier-Transformation:

Dualität

Die Substitution von t durch $-t$ in der ersten Gleichung ergibt

$$2\pi x(-t) = \int_{-\infty}^{\infty} X(j\lambda) e^{-j\lambda t} d\lambda$$

Die **Substitution** von t durch ω ergibt.

$$\begin{aligned} 2\pi x(-\omega) &= \int_{-\infty}^{\infty} X(j\lambda) e^{-j\omega\lambda} d\lambda \\ &= \int_{-\infty}^{\infty} X(j\tau) e^{-j\omega\tau} d\tau \end{aligned}$$

Dies beweist die Gültigkeit der Dualitätsbeziehung.

Eigenschaften der Fourier-Transformation: Dualität (Beispiel 1 aus Klausur WS 14/15)

Bestimmen Sie die Fourier-Transformierte $G(j\omega)$ der Zeitfunktion

$$g(t) = \frac{6}{(a + jt)^4}, \quad a > 0$$

in Abhängigkeit von a unter Zuhilfenahme einer geeigneten Korrespondenz und einer geeigneten Eigenschaft der Fourier-Transformation.

Eigenschaften der Fourier-Transformation: Dualität (Beispiel 1 aus Klausur WS 14/15)

Die Fourier-Transformierte der Funktion $g(t)$ kann unter Zuhilfenahme der Symmetrieeigenschaft der Fourier-Transformation

$$\text{Symmetrie/Dualität: } X(j\omega) \circ \bullet 2\pi x(-t)$$

und der Transformationskorrespondenz

$$t^n e^{-\alpha t} u(t) \circ \bullet \frac{n!}{(\alpha + j\omega)^{n+1}} \quad \alpha > 0$$

berechnet werden, mit $n = 3$. Es folgt

$$g(t) = X(j\omega) = \frac{6}{(a + jt)^4} = \frac{3!}{(a + jt)^{3+1}} \circ \bullet -2\pi \omega^3 e^{a\omega} u(-\omega) = G(j\omega)$$

Eigenschaften der Fourier-Transformation: Dualität (Beispiel 2 aus Klausur SS 16)

Bestimmen Sie die Fourier-Transformierte $H(j\omega)$ der Zeitfunktion

$$h(t) = \frac{1}{(\sqrt{\pi} + jbt)^2}, \quad b > 0$$

in Abhängigkeit von b .

Hinweis:

Nutzen Sie die Eigenschaften der Fourier-Transformation sowie eine geeignete Korrespondenz.

Eigenschaften der Fourier-Transformation: Dualität (Beispiel 2 aus Klausur SS 16)

Die Fourier-Transformierte $H(j\omega)$ des Zeitsignals $h(t)$ lässt sich in drei Schritten bestimmen:

- Definition des Signals $h(t)$ als zeitskalierte Version des Signals $\tilde{h}(t)$. Es gilt:

$$h(t) = \tilde{h}(b \cdot t)$$

mit

$$\tilde{h}(t) = \frac{1}{(\sqrt{\pi} + jt)^2}$$

- Mit Hilfe der Korrespondenz

$$x(t) = te^{-at}u(t) \quad \circ \longrightarrow \bullet \quad \frac{1}{(a + j\omega)^2} = X(j\omega)$$

folgt:

$$\tilde{h}(t) = X(jt) \quad \text{mit} \quad a = \sqrt{\pi}$$

Eigenschaften der Fourier-Transformation: Dualität (Beispiel 2 aus Klausur SS 16)

Die Fourier-Transformierte $\tilde{H}(j\omega)$ des Zeitsignals $\tilde{h}(t)$ ergibt sich mit Hilfe des Dualitätssatzes der Fourier-Transformation zu

$$\tilde{H}(j\omega) = 2\pi(-\omega)e^{\sqrt{\pi}\omega}u(-\omega) = -2\pi\omega e^{\sqrt{\pi}\omega}(1 - u(\omega))$$

- $H(j\omega)$ ergibt sich aus $\tilde{H}(j\omega)$ durch Anwendung des Satzes zur Zeitskalierung der Fourier-Transformation (Hinweis: $b > 0$ ist vorausgesetzt laut Aufgabenstellung):

$$\begin{aligned} H(j\omega) &= \frac{1}{|b|}\tilde{H}\left(j\frac{\omega}{b}\right) = \frac{1}{b} \left(-2\pi\frac{\omega}{b}e^{\sqrt{\pi}\frac{\omega}{b}} \left(1 - u\left(\frac{\omega}{b}\right) \right) \right) \\ &= -2\pi\frac{\omega}{b^2}e^{\sqrt{\pi}\frac{\omega}{b}}(1 - u(\omega)) = -2\pi\frac{\omega}{b^2}e^{\sqrt{\pi}\frac{\omega}{b}}u(-\omega) \end{aligned}$$

Eigenschaften der Fourier-Transformation:

Frequenzversatz

Frequenzverschiebung der Fourier-Transformierten $X(j\omega)$ um den Frequenzversatz ω_0

$$x(t)e^{j\omega_0 t} \circ \longrightarrow \bullet X(j(\omega - \omega_0))$$

wobei ω_0 reelle Konstante ist.

Die Multiplikation des Signals $x(t)$ mit der komplexer Harmonischen $e^{j\omega_0 t}$ im Zeitbereich wird **Modulation** genannt.

Herleitung: Mit $g(t) = x(t)e^{j\omega_0 t}$

$$\begin{aligned} G(j\omega) &= \int_{-\infty}^{\infty} x(t)e^{j\omega_0 t} e^{-j\omega t} dt \\ &= \int_{-\infty}^{\infty} x(t)e^{-j(\omega - \omega_0)t} dt \\ &= X(j(\omega - \omega_0)). \end{aligned}$$

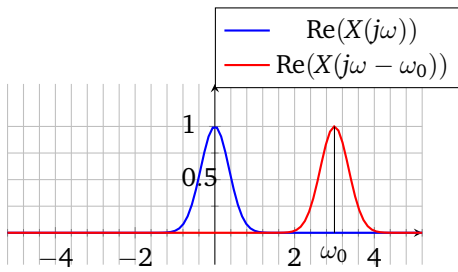
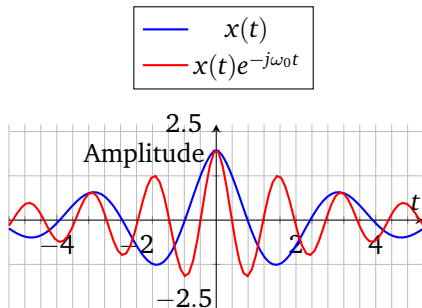
Eigenschaften der Fourier-Transformation

Beispiel: Modulation

$$x(t)e^{j\omega_0 t} \longleftrightarrow X(j(\omega - \omega_0))$$

Wird dem Trägersignal $e^{j\omega_0 t}$ im Zeitbereich das Signal $x(t)$ aufmoduliert, dann verschieben sich im Frequenzbereich alle Spektralanteile von $X(j\omega)$ um ω_0 .

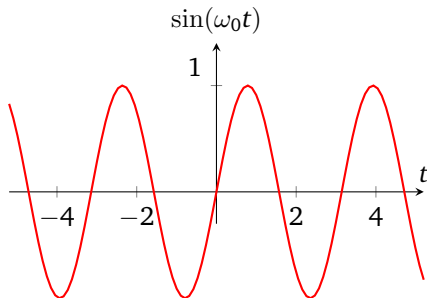
Das Prinzip der Modulation spielt eine große Rolle bei der Datenübertragung im Frequenzband um ω_0 .



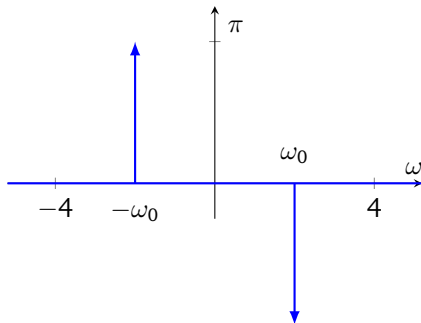
Eigenschaften der Fourier-Transformation

Beispiel: Sinus der Grundfrequenz ω_0

$$\sin(\omega_0 t) = \frac{1}{2j}(1 \cdot e^{j\omega_0 t} - 1 \cdot e^{-j\omega_0 t}) \longleftrightarrow j\pi[\delta(\omega + \omega_0) - \delta(\omega - \omega_0)]$$



$$\text{Im}(X(j\omega)) = \pi[\delta(\omega + \omega_0) - \delta(\omega - \omega_0)]$$



Eigenschaften der Fourier-Transformation: Modulation

Die **Modulation** des Signals $x(t)$ mit einem **Cosinussignal** $\cos(\omega_0 t)$ im Zeitbereich erfüllt die folgende Eigenschaft:

$$x(t) \cos(\omega_0 t) \circ \longrightarrow \bullet \frac{1}{2} [X(j(\omega - \omega_0)) + X(j(\omega + \omega_0))],$$

wobei ω_0 eine reelle Konstante ist.

Herleitung: $\cos(\omega_0 t) = \frac{1}{2} (e^{j\omega_0 t} + e^{-j\omega_0 t})$

$$g(t) = x(t) \cos(\omega_0 t) = \frac{1}{2} (x(t)e^{j\omega_0 t} + x(t)e^{-j\omega_0 t})$$

Aus dem Frequenzverschiebungseigenschaft folgt

$$G(j\omega) = \frac{1}{2} [X(j(\omega - \omega_0)) + X(j(\omega + \omega_0))].$$

Eigenschaften der Fourier-Transformation:

Differentiation nach der Zeit

Die n -te **Ableitung** des Signals $x(t)$ nach der Zeit

$$\frac{d^n x(t)}{dt^n} \longleftrightarrow (j\omega)^n X(j\omega)$$

Herleitung: $x^{(n)}(t) = \frac{d^n}{dt^n} x(t)$ ist die n -te Ableitung von $x(t)$

$$\begin{aligned} x^{(n)}(t) &= \frac{d^n}{dt^n} \left[\frac{1}{2\pi} \int_{-\infty}^{\infty} X(j\omega) e^{j\omega t} d\omega \right] \\ &= \frac{1}{2\pi} \int_{-\infty}^{\infty} X(j\omega) \frac{d^n}{dt^n} [e^{j\omega t}] d\omega \end{aligned}$$

Wenn die Funktion auf dem Integrations-/Differenzationsbereich stetig ist, dann kann die Differentiation unter dem Integral durchgeführt werden (\Rightarrow Satz von Fubini).

Eigenschaften der Fourier-Transformation: Differentiation nach der Zeit

Bekannt ist die Differentiationsregel der komplexen Funktion:

$$\frac{d}{dt}[e^{j\omega t}] = j\omega e^{j\omega t}$$

Die zweite Ableitung der komplexen Exponentialfunktion nach der Zeit ist

$$\frac{d^2}{dt^2}[e^{j\omega t}] = \frac{d}{dt}[j\omega e^{j\omega t}] = (j\omega)^2 e^{j\omega t}$$

Die n -te Ableitung ergibt sich zu:

$$\frac{d^n}{dt^n}[e^{j\omega t}] = (j\omega)^n e^{j\omega t}$$

Daher gilt:

$$x^{(n)}(t) = \frac{1}{2\pi} \int_{-\infty}^{\infty} (j\omega)^n X(j\omega) e^{j\omega t} d\omega$$

Eigenschaften der Fourier-Transformation:

Differentiation nach der Zeit

Die n -te **Ableitung** des Signals $x(t)$ nach der Zeit

$$\frac{d^n x(t)}{dt^n} \quad \circ \longrightarrow \bullet \quad (j\omega)^n X(j\omega)$$

Bedeutung des Differentiationssatzes:

Der Differentiationssatz der Fourier-Transformation spielt bei der Analyse von realen Systemen, d.h. RLC-Netzen, eine große Rolle, da sich in diesen Systemen die Eingang-/Ausgangsbeziehung implizit über lineare Differentialgleichungen beschreiben lässt.

Wir werden diese Differentialgleichungen im Frequenzbereich untersuchen.

Eigenschaften der Fourier-Transformation:

Faltungstheorem

Die **Faltung** zweier Zeitsignale $x_1(t)$ und $x_2(t)$ ergibt:

$$x_1(t) * x_2(t) \longleftrightarrow X_1(j\omega) \cdot X_2(j\omega)$$

Das Faltungstheorem der Fourier-Transformation ist eines der wichtigsten Eigenschaften für **LTI-Systeme**. Es ermöglicht eine vereinfachte Berechnung der **Systemantwort** aus dem Eingangssignal $x(t)$ und der Impulsantwort $h(t)$ des Systems im **Frequenzbereich**.

Herleitung: Faltungsintegral

$$x_1(t) * x_2(t) = \int_{-\infty}^{\infty} x_1(t - \tau)x_2(\tau)d\tau$$

Eigenschaften der Fourier-Transformation:

Faltungstheorem

Zeitverschiebungssatz

$$\mathcal{F}\{x_1(t - \tau)\} = X_1(j\omega)e^{-j\omega\tau}.$$

$$x_1(t - \tau) = \frac{1}{2\pi} \int_{-\infty}^{\infty} X_1(j\omega)e^{-j\omega\tau} e^{j\omega t} d\omega$$

Damit gilt

$$\begin{aligned} x_1(t) * x_2(t) &= \int_{-\infty}^{\infty} \left[\frac{1}{2\pi} \int_{-\infty}^{\infty} X_1(j\omega)e^{-j\omega\tau} e^{j\omega t} d\omega \right] x_2(\tau) d\tau \\ &= \frac{1}{2\pi} \int_{-\infty}^{\infty} X_1(j\omega) \left[\int_{-\infty}^{\infty} x_2(\tau)e^{-j\omega\tau} d\tau \right] e^{j\omega t} d\omega \\ &= \frac{1}{2\pi} \int_{-\infty}^{\infty} X_1(j\omega)X_2(j\omega)e^{j\omega t} d\omega = \mathcal{F}^{-1}\{X_1(j\omega)X_2(j\omega)\} \end{aligned}$$

Eigenschaften der Fourier-Transformation:

Faltungstheorem

Die **Faltung** zweier Signale im **Zeitbereich** entspricht der **Multiplikation** der jeweiligen Fourier-Transformierten im **Frequenzbereich**

$$\mathcal{F}\{x_1(t) * x_2(t)\} = X_1(j\omega) \cdot X_2(j\omega)$$

Häufig wird das Faltungsintegral mithilfe des Faltungstheorems im Frequenzbereich berechnet und dann gegebenenfalls in den Zeitbereich rücktransformiert.

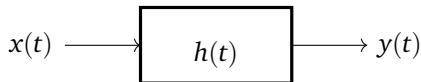
Beispiel: Schnelle Faltung

Ausblick DSS Teil 2: Fourieranalyse zeitdiskreter (abgetasteter) Signale

⇒ Schnelle Faltung mittels schneller Diskreter Fourier Transformation (Fast Fourier Transformation – FFT).

Diverse Eigenschaften der Fourier-Transformation: **Beispiel 1** aus Klausur WS15/16

Das Signal $x(t)$ liegt als Eingangssignal an einem LTI-System (Filter) H mit der Impulsantwort $h(t)$ an.



Es sei $y(t)$ das Signal am Ausgang des Systems H .

Weiterhin sei

$$\tilde{x}(t) = 2x(T - t).$$

Geben Sie $\tilde{y}(t) = h(t) * \tilde{x}(t)$ als Funktion von $y(t)$ und in Abhängigkeit von T an.

Geben Sie die Fourier-Transformierte $\tilde{Y}(j\omega) = \mathcal{F}\{\tilde{y}(t)\}$ von $\tilde{y}(t)$ als Funktion von $Y(j\omega) = \mathcal{F}\{y(t)\}$ und in Abhängigkeit von T an.

Diverse Eigenschaften der Fourier-Transformation: **Beispiel 1** aus Klausur WS15/16

Das veränderte Ausgangssignal $\tilde{y}(t)$ und dessen Fourier-Transformierte $\tilde{Y}(j\omega) = \mathcal{F}\{\tilde{y}(t)\}$ ergeben sich aus der Linearität und der Zeitinvarianz des Systems, sowie aus den Eigenschaften von Faltung und Fourier-Transformation:

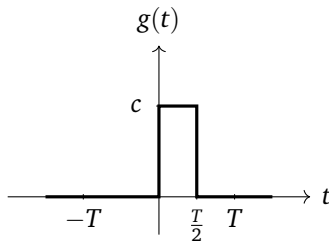
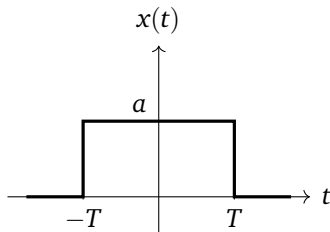
$$\tilde{y}(t) = h(t) * 2x(T - t)$$

$$\tilde{Y}(j\omega) = H(j\omega)2X(-j\omega)e^{j\omega T}$$

Diverse Eigenschaften der Fourier-Transformation: **Beispiel 2** aus Klausur WS14/15

Wir betrachten das LTI-System (Filter) G , charakterisiert durch die zugehörige Impulsantwort $g(t)$, welche im Folgenden skizziert ist.

Mit dem Eingangssignal $x(t)$ des Systems G ergibt sich das Ausgangssignal $z(t) = g(t) * x(t)$.



Bestimmen Sie die Fourier-Transformierte $Z(j\omega) = \mathcal{F}\{z(t)\}$ in Abhängigkeit von a, c und T .

Diverse Eigenschaften der Fourier-Transformation: **Beispiel 2** aus Klausur WS14/15

Die Antwort lässt sich einfach mit Hilfe der Multiplikation im Frequenzbereich $Z(j\omega) = X(j\omega) \cdot G(j\omega)$ bestimmen:

$$x(t) = a\Pi\left(\frac{t}{2T}\right) \circ \bullet a2T\text{si}(\omega T) = X(j\omega)$$

$$g(t) = c\Pi\left(\frac{t - \frac{T}{4}}{\frac{T}{2}}\right) \circ \bullet c\frac{T}{2}\text{si}\left(\omega\frac{T}{4}\right)e^{-j\omega\frac{T}{4}} = G(j\omega)$$

$$Z(j\omega) = X(j\omega) \cdot G(j\omega) = acT^2\text{si}(\omega T)\text{si}\left(\omega\frac{T}{4}\right)e^{-j\omega\frac{T}{4}}$$

Eigenschaften der Fourier-Transformation:

Multiplikation im Zeitbereich

Die **Multiplikation** zweier Signale $x_1(t)$ mit $x_2(t)$ im **Zeitbereich**:

$$x_1(t) \cdot x_2(t) \quad \circ \text{---} \bullet \quad \frac{1}{2\pi} X_1(j\omega) * X_2(j\omega) = \frac{1}{2\pi} \int_{-\infty}^{\infty} X_1(j\lambda) X_2(j(\omega - \lambda)) d\lambda$$

Herleitung: Unmittelbar aus der **Dualitätsbeziehung** und dem **Faltungssatz**.

$$x(t) = x_1(t) * x_2(t) \quad \circ \text{---} \bullet \quad X(j\omega) = X_1(j\omega) \cdot X_2(j\omega)$$

$$\text{Dualität} \quad X(jt) \quad \circ \text{---} \bullet \quad 2\pi x(-\omega)$$

$$X_1(jt) \cdot X_2(jt) \quad \circ \text{---} \bullet \quad 2\pi x_1(-\omega) * x_2(-\omega)$$

$$X_1(jt) \cdot X_2(jt) \quad \circ \text{---} \bullet \quad \frac{1}{2\pi} \left(\underbrace{2\pi x_1(-\omega)}_{\mathcal{F}\{X_1(jt)\}} * \underbrace{2\pi x_2(-\omega)}_{\mathcal{F}\{X_2(jt)\}} \right)$$

Eigenschaften der Fourier-Transformation:

Integration

Die **Integration** des Signals $x(t)$ bzgl. der Zeit ergibt im Frequenzbereich

$$\int_{-\infty}^t x(\tau) d\tau \circ \bullet \frac{X(j\omega)}{j\omega} + \pi X(0)\delta(\omega)$$

Herleitung:

Bekannt ist die Korrespondenz:

$$u(t) = \frac{1}{2} [1 + \operatorname{sgn}(t)] \circ \bullet \pi\delta(\omega) + \frac{1}{j\omega}.$$

$$\Rightarrow \int_{-\infty}^t x(\tau) d\tau = \int_{-\infty}^{\infty} x(\tau) u(t - \tau) d\tau = x(t) * u(t)$$

$$\circ \bullet X(j\omega) \mathcal{F}\{u(t)\} = X(j\omega) \left[\frac{1}{j\omega} + \pi\delta(\omega) \right] = \frac{X(j\omega)}{j\omega} + \pi X(0)\delta(\omega)$$

Fourier-Transformation

Beispiel: Dreieckssignal

Das **Dreieckssignal** ist definiert durch

$$d_T(t) = \begin{cases} 1 - \frac{|t|}{T}, & |t| < T \\ 0, & \text{ansonsten} \end{cases}$$

Die Fourier-Transformierte lässt sich durch direkte Auswertung des Transformationsintegrals berechnen.

Einfacher ist es jedoch die **zweifache Ableitung** des Dreieckssignals in den Frequenzbereich zu transformieren und dann den **Integrationssatz** zu verwenden.

$$\frac{d}{dt}d_T(t) = \begin{cases} -\frac{1}{T}\text{sgn}(t) & |t| < T \\ 0 & \text{ansonsten} \end{cases}$$

Fourier-Transformation

Beispiel: Dreieckssignal

Erste Ableitung:

$$\frac{d}{dt}d_T(t) = \frac{1}{T} \left[r_{\frac{T}{2}} \left(t + \frac{T}{2} \right) - r_{\frac{T}{2}} \left(t - \frac{T}{2} \right) \right] = -\frac{1}{T} r_T(t) \operatorname{sgn}(t)$$

Zweite Ableitung:

$$\frac{d^2}{dt^2}d_T(t) = \frac{1}{T} [\delta(t+T) - 2\delta(t) + \delta(t-T)]$$

Mit $\mathcal{F} \left[\frac{d^2}{dt^2}d_T(t) \right] \big|_{\omega=0} = 0$ und $\mathcal{F} \left[\frac{d}{dt}d_T(t) \right] \big|_{\omega=0} = 0$ (L'Hospital) gilt

$$\frac{d^2}{dt^2}d_T(t) \quad \circ \longrightarrow \bullet \quad \mathcal{F} \left[\frac{1}{T} [\delta(t+T) - 2\delta(t) + \delta(t-T)] \right] = \frac{1}{T} [e^{j\omega T} - 2 + e^{-j\omega T}]$$

$$\frac{d}{dt}d_T(t) \quad \circ \longrightarrow \bullet \quad \mathcal{F} \left[\frac{d}{dt}d_T(t) \right] = \frac{1}{j\omega} \frac{1}{T} [e^{j\omega T} - 2 + e^{-j\omega T}] + \pi \cdot 0 \cdot \delta(\omega)$$

$$d_T(t) \quad \circ \longrightarrow \bullet \quad \frac{1}{(j\omega)^2} \frac{1}{T} [e^{j\omega T} - 2 + e^{-j\omega T}] + \pi \cdot 0 \cdot \delta(\omega)$$

Fourier-Transformation

Beispiel: Dreieckssignal

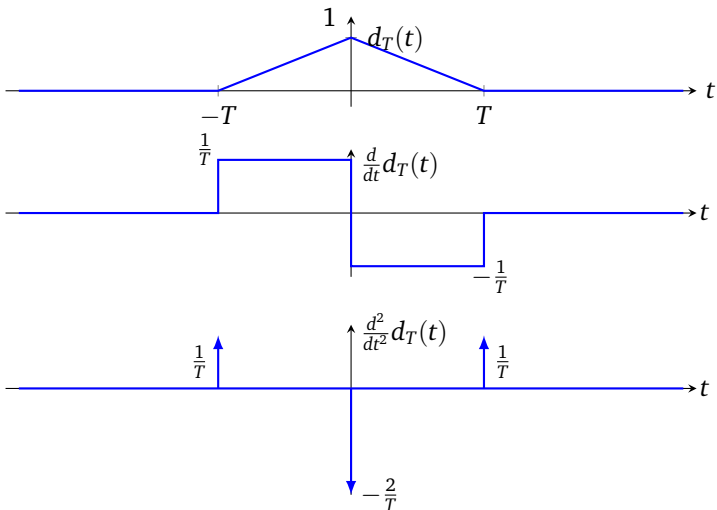
Daher gilt

$$\begin{aligned}\mathcal{F}\{d_T(t)\} &= \frac{2}{(j\omega)^2 T} [\cos(\omega T) - 1] \\ &= \frac{4}{\omega^2 T} \sin^2\left(\frac{\omega T}{2}\right) \\ &= T \operatorname{sinc}^2\left(\frac{\omega T}{2\pi}\right)\end{aligned}$$

Das Beispiel zeigt die praktische Bedeutung der **Eigenschaften der Fourier-Transformation**.

Fourier-Transformation

Beispiel: Dreieckssignal



Eigenschaften der Fourier-Transformation: Grenzverhalten

Unter sehr allgemeinen Bedingungen bzgl. der Glattheit des Signals $x(t)$ gilt:

$$\lim_{\omega \rightarrow \infty} X(j\omega) = \lim_{\omega \rightarrow \infty} X(-j\omega) = 0$$

Herleitung: (anschaulich):

Wegen $e^{-j\omega t} = \cos \omega t - j \sin \omega t$ wird das Signal $x(t)$ mit wachsendem ω durch immer dichter aufeinander folgende positive und negative Halbwellen gewichtet.

Im Grenzfalle heben sich daher die jeweilig positiven und negativen Teilbeträge gegenseitig auf.

Eigenschaften der Fourier-Transformation: Konjugiert komplexes Zeitsignal, reelles Zeitsignal

Das **konjugiert komplexe** Zeitsignal $x(t)$ ergibt im Frequenzbereich:

$$x^*(t) \circ \bullet X^*(-j\omega)$$

Herleitung:

$$\begin{aligned}\mathcal{F}\{x^*(t)\} &= \int_{-\infty}^{\infty} x^*(t) e^{-j\omega t} dt \\ &= \left(\int_{-\infty}^{\infty} x(t) e^{j\omega t} dt \right)^* = X^*(-j\omega)\end{aligned}$$

Für Signale mit **symmetrischem Frequenzgang** ($X(j\omega) = X^*(-j\omega)$) folgt:

$$x(t) = x^*(t) \quad \Rightarrow \quad x(t) \text{ ist rein reell.}$$

Ähnlich gilt für $-X(-j\omega) = X^*(j\omega)$, dass $x(t)$ rein **imaginär**, $x^*(t) = -x(t)$, ist.

Eigenschaften der Fourier-Transformation: gerade Zeitfunktionen

Eine **gerade Zeitfunktion** $x(t)$ mit $x(t) = x(-t)$ ergibt im Frequenzbereich:

$$x(t) = x(-t) \quad \circ \longrightarrow \bullet \quad X(-j\omega) = X(j\omega)$$

Herleitung:

$$X(j\omega) = \int_{-\infty}^0 x(t)e^{-j\omega t} dt + \int_0^{\infty} x(t)e^{-j\omega t} dt$$

Im ersten Ausdruck auf der rechten Seite ergibt die Substitution $t = -t$ mit $x(t) = x(-t)$:

$$X(j\omega) = \int_0^{\infty} x(t) (e^{j\omega t} + e^{-j\omega t}) dt = 2 \int_0^{\infty} x(t) \cos \omega t dt$$

Eigenschaften der Fourier-Transformation: gerade und ungerade Zeitfunktionen

Entsprechend gilt

$$x(t) = \frac{2}{\pi} \int_0^{\infty} X(j\omega) \cos \omega t \, dt$$

Wenn $x(t)$ **gerade** ist, dann ist auch $X(j\omega)$ **gerade** und umgekehrt.

Ähnlich gilt für **ungerades** $x(t)$, dass auch $X(j\omega)$ **ungerade** ist und umgekehrt.

$$-x(t) = x(-t) \quad \circ \longrightarrow \bullet \quad X(-j\omega) = -X(j\omega)$$

Beispiel:

$$1 \quad \circ \longrightarrow \bullet \quad 2\pi\delta(\omega)$$

Eigenschaften der Fourier-Transformation

- Die direkte Auswertung der **Integrale**

$$X(j\omega) = \int_{-\infty}^{\infty} x(t)e^{-j\omega t} dt \quad \text{und} \quad x(t) = \frac{1}{2\pi} \int_{-\infty}^{\infty} X(j\omega)e^{j\omega t} d\omega$$

zur Berechnen der (Inversen) Fourier-Transformation ist häufig zu aufwendig und nicht nötig.

- Häufig ist es besser die Berechnung der Fourier-Transformierten mittels der **Tabelle** bekannter **Transformationskorrespondenzen** unter Ausnutzung bekannter **Eigenschaften** der Fourier-Transformation durchzuführen.

Eigenschaften der Fourier-Transformation

Zusammenfassung: Auszug aus den Hilfblättern

Linearität:	$a_1x_1(t) + a_2x_2(t)$	$\circ \longrightarrow$	$a_1X_1(j\omega) + a_2X_2(j\omega)$
Zeitverschiebung:	$x(t - t_0)$	$\circ \longrightarrow$	$X(j\omega)e^{-j\omega t_0}$
Frequenzverschiebung:	$x(t)e^{j\omega_0 t}$	$\circ \longrightarrow$	$X(j(\omega - \omega_0))$
Zeitskalierung:	$x(at)$	$\circ \longrightarrow$	$\frac{1}{ a }X\left(\frac{j\omega}{a}\right)$
Zeitumkehr:	$x(-t)$	$\circ \longrightarrow$	$X(-j\omega)$
Ableitung im Zeitbereich:	$\frac{d^n}{dt^n}x(t)$	$\circ \longrightarrow$	$(j\omega)^n X(j\omega)$
Ableitung im Frequenzbereich:	$(-jt)^n x(t)$	$\circ \longrightarrow$	$\frac{d^n}{d\omega^n}X(j\omega)$
Integration:	$\int_{-\infty}^t x(\tau) d\tau$	$\circ \longrightarrow$	$\frac{1}{j\omega}X(j\omega) + \pi X(0)\delta(\omega)$
Symmetrie/ Dualität:	$X(jt)$	$\circ \longrightarrow$	$2\pi x(-\omega)$
Multiplikation:	$x_1(t)x_2(t)$	$\circ \longrightarrow$	$\frac{1}{2\pi}X_1(j\omega) * X_2(j\omega)$
Faltung:	$x_1(t) * x_2(t)$	$\circ \longrightarrow$	$X_1(j\omega)X_2(j\omega)$

Fourier-Transformation

Beispiel: Impulszug

Der **Impulszug** spielt beim **Abtasten** (Sampling) von Signalen eine wichtige Rolle.

$$y(t) = \sum_{m=-\infty}^{\infty} \delta(t - mT_s) \quad \omega_s = \frac{2\pi}{T_s} \quad \sum_{m=-\infty}^{\infty} \delta(\omega - m\omega_s)$$

Mit

$$y(t) = \sum_{n=-\infty}^{\infty} Y_n e^{j\omega_s n t}.$$

folgt aus der Definition der **Impulsfunktion**:

$$Y_n = \frac{1}{T_s} \int_{-T_s/2}^{T_s/2} \delta(t) e^{-j\omega_s n t} dt = \frac{\omega_s}{2\pi}$$

Fourier-Transformation

Beispiel: Impulszug

Da $y(t)$ mit T_s periodisch ist, ergibt die Fourierreihenentwicklung von $y(t)$:

$$y(t) = \frac{\omega_s}{2\pi} \sum_{n=-\infty}^{\infty} e^{j\omega_s n t}$$

Aus $\mathcal{F}\{e^{j\omega_s n t}\} = 2\pi\delta(\omega - n\omega_s)$ folgt

$$y(t) = \frac{\omega_s}{2\pi} \sum_{n=-\infty}^{\infty} e^{j\omega_s n t} \circ \bullet \omega_s \sum_{n=-\infty}^{\infty} \delta(\omega - n\omega_s)$$

LTI-Systeme im Frequenzbereich

Lernziel der 9. Lerneinheit: WP 3 – LTI-Systeme im Frequenzbereich – Reale Filter

In der 9. Lerneinheit untersuchen wir reale LTI-Systeme (d.h. RLC-Netzwerke) im Frequenzbereich.

- Wir nutzen den Faltungssatz der Fourier-Transformation um die Eingangs-/Ausgang-Beziehung in LTI-Systemen im Frequenzbereich darzustellen.
- Wir lernen, dass die Übertragungsfunktion $H(j\omega)$ eines Systems als Fourier-Transformierte der Impulsantwort $h(t)$ durch die ein LTI-System vollständig charakterisiert ist.
- Aus der Faltung mit der Impulsantwort $h(t)$ im Zeitbereich wird eine einfache Multiplikation mit der Übertragungsfunktion $H(j\omega)$ im Frequenzbereich.
- Die Fourier-Transformierte des Ausgangssignals $Y(j\omega)$ im Frequenzbereich ergibt sich aus dem Produkt der Fourier-Transformierten des Eingangssignals $X(j\omega)$ und der Übertragungsfunktion $H(j\omega)$, d.h., $Y(j\omega) = H(j\omega) X(j\omega)$.

WP 3 – LTI-Systeme im Frequenzbereich

Reale Filter

- Für das **Beispiel** eines angeregten **RC-Schwingkreises** untersuchen wir das **Tiefpassverhalten** des Systems sowohl im Zeitbereich als auch im Frequenzbereich.
- Ein Tiefpass ist ein System bei dem Signalanteile bei **tiefe Frequenzen** das System weitgehend **unverzerrt** passieren können und bei dem Signalanteile bei **hohen Frequenzen** am Ausgang gegenüber dem Eingangssignal deutlich **gedämpft** auftreten.
- Aus dem **Betragsspektrums** $|H(j\omega)|$ der Übertragungsfunktion $H(j\omega)$ eines **LTI-Systems** lässt sich sehr einfach feststellen, ob es sich bei einem System um einen **Hochpass**-, **Bandpass**-, oder **Tiefpass-Filter** handelt.

Zusammenhang Impulsantwort und Übertragungsfunktion

Bereits bekannt: Das Ausgangssignal eines **LTI-Systems** lässt sich mithilfe des Faltungsintegrals vollständig durch die Impulsantwort $h(t)$ des Systems und dem Eingangssignal beschreiben.

$$y(t) = h(t) * x(t) = \int_{-\infty}^{\infty} h(t - \tau)x(\tau)d\tau$$

Die **Eingangs-/Ausgangsbeziehung** eines LTI-Systems im **Frequenzbereich** ergibt sich aus dem Faltungssatz:

$$x(t) * h(t) \quad \circ \text{---} \bullet \quad X(j\omega) \cdot H(j\omega),$$

wobei $x(t) \circ \text{---} \bullet X(j\omega)$ und $h(t) \circ \text{---} \bullet H(j\omega)$.

Systemanalyse im Frequenzbereich

- Der Ausgang eines LTI-Systems berechnet sich als Produkt der Fourier-Transformierten des Eingangssignals und der Übertragungsfunktion an allen Frequenzen (anstelle einer „aufwendigen“ Faltung im Zeitbereich).
- Der einfache Zusammenhang der Eingangs- und Ausgangssignale von LTI-Systemen im Frequenzbereich ist der Grund warum LTI-Systeme in der Praxis häufig im Frequenzbereich untersucht werden.
- Beispiele: Sensorsysteme, Kommunikationssysteme, Radarsysteme, allg. Signalverarbeitungssysteme, regelungstechnische Systeme.

Systemanalyse im Frequenzbereich

- Die einfache **Frequenzbereichsbeziehung** ermöglicht eine anschauliche Interpretation der Signale.
- **Beispiele:** Amplituden- und Frequenzmodulation, Abtasttheorie, Filtertheorie in Kommunikationssystemen, Sensorsystemen, Signalverarbeitung, Regelungssystemen.

Übertragungsfunktion und Filterung

Transformation (Filterung) eines Signals $x(t)$ mittels LTI System

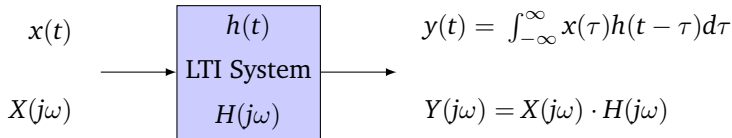


Abbildung: Filterung von $x(t)$ in einem LTI-System.

Bereits bekannt:

$$y(t) = x(t) * h(t) \quad \longleftrightarrow \quad Y(j\omega) = X(j\omega) \cdot H(j\omega)$$

$H(j\omega)$ wird **Übertragungsfunktion** des LTI-Systems (Filters) genannt und entspricht der Fourier-Transformierten der **Impulsantwort**.

Da die Fourier-Transformation eine **bijektive Transformation** ist beinhaltet $H(j\omega)$ dieselbe Information wie die Impulsantwort $h(t)$.

Übertragungsfunktion und Filterung

Ein LTI-System ist durch seine Impulsantwort oder durch seine Übertragungsfunktion eindeutig bestimmt.

Da $H(j\omega)$ allgemein komplexwertig ist gilt:

$$H(j\omega) = |H(j\omega)| e^{j\Theta_H(\omega)}$$

$|H(j\omega)|$ ist der **Amplitudengang** (das Betragsspektrum) des Systems

$\Theta_H(\omega)$ ist die **Phasenantwort** (der Phasengang).

Wenn $h(t)$ reell ist, dann ist $H(-j\omega) = H^*(j\omega)$, und

$$|H(j\omega)| = |H(-j\omega)|$$

$$\Theta_H(\omega) = -\Theta_H(-\omega).$$

Reale und ideale Filter

Beispiel: RC-Tiefpass

Wir interessieren uns für die Übertragungsfunktion eines RC-Tiefpasses.

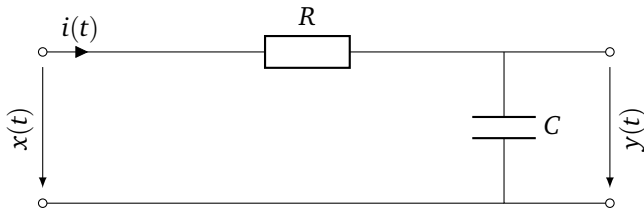


Abbildung: RC-Tiefpass-Filter.

Das RC-Netzwerk stellt ein LTI-System dar.

Beispiel: RC-Tiefpass

Die Eingangs- und Ausgangssignale sind im Zeitbereich über die folgende Differentialgleichung miteinander verbunden

$$x(t) = R i(t) + y(t)$$

$$i(t) = C \frac{dy(t)}{dt}$$

Damit gilt

$$x(t) = RC \frac{dy(t)}{dt} + y(t) \quad , \quad -\infty < t < \infty$$

Beispiel: RC-Tiefpass

Wenn die Fourier-Transformierten der beteiligten Signale existieren, dann ergibt sich mit dem **Differentiationssatz** der Fourier-Transformation:

$$\frac{dy(t)}{dt} \quad \circ \text{---} \bullet \quad (j\omega)Y(j\omega)$$

Die Eingangs-/Ausgangsbeziehung im Frequenzbereich lautet dann:

$$X(j\omega) = \underbrace{(1 + j\omega RC)}_{\frac{1}{H(j\omega)}} \cdot Y(j\omega).$$

Beispiel: RC-Tiefpass

Die Übertragungsfunktion des Systems ist

$$H(j\omega) = \frac{Y(j\omega)}{X(j\omega)} = \frac{1}{1 + j\omega RC} = \frac{1}{1 + j\frac{\omega}{\omega_0}}.$$

Die zugehörige Impulsantwort ergibt sich durch Rücktransformation (aus der Korrespondenztabelle)

$$h(t) = \omega_0 e^{-\omega_0 t} u(t) = \frac{1}{RC} e^{-\frac{t}{RC}} u(t)$$

$\omega_0 = \frac{1}{RC}$ ist die 3 dB Grenzfrequenz.

Es gilt: $|H(j\omega_0)| = \frac{1}{\sqrt{2}}|H(0)|$, so dass $20 \log_{10} \left[\frac{|H(j\omega_0)|}{|H(0)|} \right] = -3 \text{ dB}$.

Beispiel: RC-Tiefpass

Die Übertragungsfunktion des Systems lautet

$$H(j\omega) = \frac{Y(j\omega)}{X(j\omega)} = \frac{1}{1 + j\omega RC} = \frac{1}{1 + j\frac{\omega}{\omega_0}}.$$

Der Amplitudengang des Systems an der Frequenz ω ist

$$|H(j\omega)| = \left[1 + \left(\frac{\omega}{\omega_0} \right)^2 \right]^{-\frac{1}{2}}$$

Beispiel: RC-Tiefpass

Der Kehrwert von ω_0 , d.h. $\omega_0^{-1} = RC$, wird als **Zeitkonstante** bezeichnet.

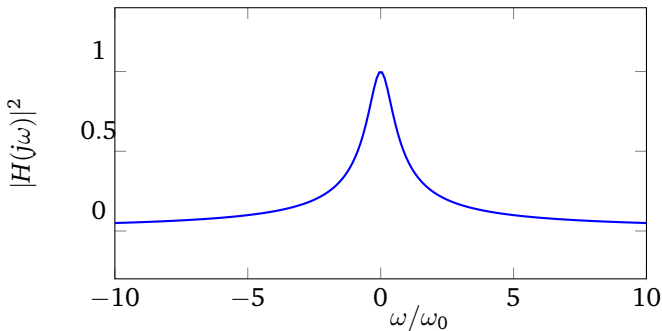


Abbildung: Amplitudengang eines Tiefpass-Filters.

Beispiel: RC-Tiefpass

Der Kehrwert von ω_0 , d.h. $\omega_0^{-1} = RC$, wird als **Zeitkonstante** bezeichnet.

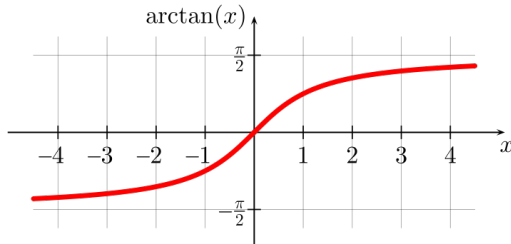


Abbildung: Phasengang eines Tiefpass-Filters.

Beispiel: RC-Tiefpass

Amplitudengang: mit steigendem ω nimmt der Betrag der Übertragungsfunktion ab.

Für kleine Frequenzen sind die Beträge von $H(j\omega)$ groß.

- Systeme, die sich so verhalten, werden **Tiefpass**-Filter genannt.
- Signalanteile bei **tiefen Frequenzen** passieren Filter nahezu unverändert.
- Signalanteile bei **hohen Frequenzen** werden stark gedämpft.

Beispiel: RC-Tiefpass

Bestimmung des **Phasengangs** $\Theta_H(\omega)$: Es gilt

$$H(j\omega) = \frac{1}{1 + j\frac{\omega}{\omega_0}} \cdot \frac{1 - j\frac{\omega}{\omega_0}}{1 - j\frac{\omega}{\omega_0}} = \frac{1 - j\frac{\omega}{\omega_0}}{1 + \left(\frac{\omega}{\omega_0}\right)^2}$$

So dass: $\Theta_H(\omega) = \arctan\left(\frac{\text{Im}\{H(j\omega)\}}{\text{Re}\{H(j\omega)\}}\right) = -\arctan\left(\frac{\omega}{\omega_0}\right).$

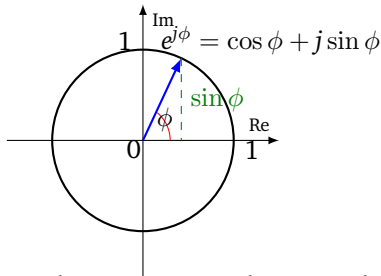


Abbildung: Komplexe Ebene – Zusammenhang zwischen Betrag und Phase.

Beispiel: RC-Tiefpass

Die Systemantwort $y(t)$ für den Eingang $x(t)$ lässt sich mithilfe der Übertragungsfunktion berechnen.

- Der Zeitbereichsansatz erfordert die „aufwendige“ Lösung der zugehörigen Differentialgleichung für $x_0(t) = \delta(t)$
- Der Frequenzbereichsansatz ist meist deutlich einfacher.

Frequenzbereichsansatz

Beispiel: Abklingende E-Funktion am RC-Tiefpass

Zeitbereichssignal

$$x(t) = A e^{-\alpha t} u(t), \quad \alpha > 0$$

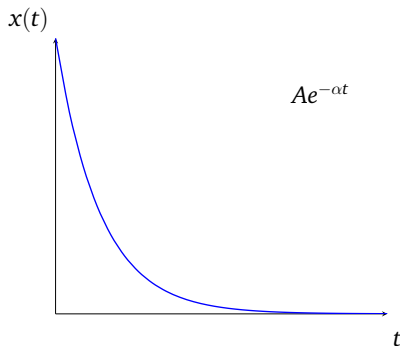


Abbildung: Eingangssignal.

Frequenzbereichsansatz

Beispiel: Abklingende E-Funktion am RC-Tiefpass

Zeitbereichssignal

$$x(t) = A e^{-\alpha t} u(t), \quad \alpha > 0$$

Die Fourier-Transformierte des Eingangssignals ist

$$X(j\omega) = \frac{A}{\alpha + j\omega}$$

Die Fourier-Transformierte des Ausgangssignals ist

$$Y(j\omega) = X(j\omega) \cdot H(j\omega) = \frac{A/RC}{(\alpha + j\omega)(1/RC + j\omega)}$$

Partialbruchzerlegung

Beispiel: Abklingende E-Funktion am RC-Tiefpass

$$\begin{aligned} Y(j\omega) &= X(j\omega) \cdot H(j\omega) = \frac{A/RC}{(\alpha + j\omega)(1/RC + j\omega)} \\ &= \frac{a}{\alpha + j\omega} + \frac{b}{1/RC + j\omega} = \frac{a(1/RC + j\omega) + b(\alpha + j\omega)}{(\alpha + j\omega)(1/RC + j\omega)} \\ &= \frac{(a/RC + b\alpha) + j(a + b)\omega}{(\alpha + j\omega)(1/RC + j\omega)} \end{aligned}$$

Durch **Koeffizientenvergleich** ergibt sich

$$a = -b; \quad a + b\alpha RC = A.$$

So dass

$$a = -b = \frac{A}{1 - \alpha RC}$$

Frequenzbereichsansatz

Beispiel: Abklingende E-Funktion am RC-Tiefpass

$$Y(j\omega) = X(j\omega) \cdot H(j\omega) = \frac{A/RC}{(\alpha + j\omega)(1/RC + j\omega)}$$

Aus der Partialbruchzerlegung ergibt sich

$$Y(j\omega) = \frac{A}{\alpha RC - 1} \left[\frac{1}{1/RC + j\omega} - \frac{1}{\alpha + j\omega} \right]$$

Für $\alpha RC \neq 1$

$$y(t) = \mathcal{F}^{-1}\{Y(j\omega)\} = \frac{A}{\alpha RC - 1} \left[e^{-\frac{t}{RC}} - e^{-\alpha t} \right] u(t)$$

Für $\alpha RC = 1$ ergibt die Grenzwertbetrachtung $\alpha RC \rightarrow 1$, dass

$$y(t) = A \left(\frac{t}{RC} \right) e^{-\frac{t}{RC}} u(t) \quad , \quad \alpha = \frac{1}{RC}$$

Zeitbereichsdarstellung

Beispiel: Rechtecksimpuls am Tiefpass

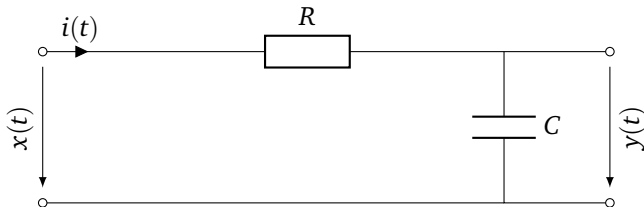


Abbildung: RC-Tiefpass-Filter.

Rechtecksimpuls am Eingang

$$x(t) = A r_{\frac{\tau}{2}} \left(t - \frac{\tau}{2} \right) = A [u(t) - u(t - \tau)]$$

Zeitbereichsdarstellung

Beispiel: Rechtecksimpuls am Tiefpass

$$x(t) = Ar_{\frac{\tau}{2}}\left(t - \frac{\tau}{2}\right) = A[u(t) - u(t - \tau)]$$

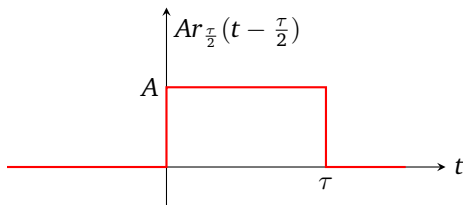


Abbildung: Vershobener Rechtecksimpuls.

Zeitbereichsdarstellung

Beispiel: Rechtecksimpuls am Tiefpass

Der Systemausgang $y(t)$ berechnet sich mithilfe der Sprungantwort $a_s(t)$.

Die Sprungantwort ist die Antwort des Systems auf den Einheitssprung $u(t)$.

$$a_s(t) = h(t) * u(t)$$

$h(t)$ ist die Impulsantwort des Systems

Die Impulsantwort ist die inverse Fourier-Transformierte der Übertragungsfunktion $H(j\omega)$.

Es ist bereits bekannt, dass

$$h(t) = \omega_0 e^{-\omega_0 t} u(t) = \frac{1}{RC} e^{-\frac{t}{RC}} u(t)$$

Zeitbereichsdarstellung

Beispiel: Rechtecksimpuls am Tiefpass

$$\begin{aligned}a_s(t) &= \int_{-\infty}^{\infty} h(\lambda) u(t - \lambda) d\lambda \\&= \int_{-\infty}^t h(\lambda) d\lambda \quad \text{für } t \geq 0, \text{ (ansonsten } a_s(t) = 0) \\&= \frac{1}{RC} \int_0^t e^{-\frac{\lambda}{RC}} d\lambda \\a_s(t) &= \left(1 - e^{-\frac{t}{RC}}\right) u(t)\end{aligned}$$

Die Sprungantwort wird durch **Integration** der Impulsantwort ermittelt.

Zeitbereichsdarstellung

Beispiel: Rechtecksimpuls am Tiefpass

$$\begin{aligned} y(t) &= A[a_s(t) - a_s(t - \tau)] \\ &= \begin{cases} 0, & t < 0 \\ A(1 - e^{-\frac{t}{RC}}), & 0 \leq t \leq \tau \\ A(e^{-\frac{t-\tau}{RC}} - e^{-\frac{t}{RC}}), & t > \tau \end{cases} \end{aligned}$$

Das Produkt RC definiert die Zeitkonstante mit der Filter einen **eingeschwungenen Zustand** erreicht.

Für kleines RC konvergiert der Ausgang schnell, d.h., der Ausgang reagiert schnell auf Änderungen am Eingang.

Die Impulsbreite τ ist groß gegenüber RC (d.h. $\frac{\tau}{RC} \gg 1$)
 \Rightarrow Der Filter konvergiert schnell gegen den momentanen Wert des Rechteckssignals am Eingang. \Rightarrow Die **Signalverzerrung** ist gering.

Zeitbereichsdarstellung

Beispiel: Rechtecksimpuls am Tiefpass

Für kleine Werte von $\frac{\tau}{RC} \ll 1$ (d.h. $\tau \ll RC$) ist die **Verzerrung** am Ausgang groß.

⇒ Der Quotient $\frac{\tau}{RC}$ bestimmt den Verlauf des Ausgangssignals $y(t)$.

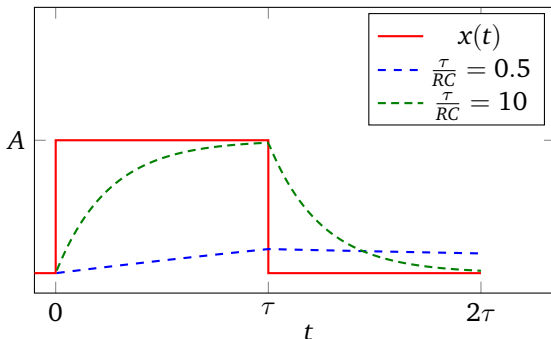


Abbildung: Systemausgang für verschiedene Werte von $\frac{\tau}{RC}$.

Frequenzbereichsdarstellung

Beispiel: Rechtecksimpuls am Tiefpass

Die zuvor im Zeitbereich gemachten Beobachtungen lassen sich auch im Frequenzbereich machen.

Die relative Bandbreite von $X(j\omega)$ und $H(j\omega)$ lässt sich über das Verhältnis $\frac{\tau}{RC}$ beschreiben.

Wenn τ ansteigt, nimmt die Bandbreite von $X(j\omega)$ ab.

Dieser Zusammenhang wurde zuvor anhand der Fourier-Transformation des Rechteckspulses beobachtet.

Ebenso beobachten wir, dass $\omega_0 = \frac{1}{RC}$ die 3 dB Grenzfrequenz des RC Tiefpass-Filters ist.

Frequenzbereichsdarstellung

Beispiel: Rechtecksimpuls am Tiefpass

Für **steigendes RC** , nimmt die **Bandbreite** von $H(j\omega)$ **ab**.

Die Filterbandbreite $\frac{1}{RC}$ ist **klein** gegenüber der Signalbandbreite $\frac{1}{\tau}$, d.h. $\frac{\tau}{RC}$ ist **klein**:

⇒ Das **Ausgangssignal** $y(t)$ ist gegenüber dem Eingangssignal $x(t)$ **verzerrt**.

Umgekehrt gilt, dass die Filterbandbreite ($\frac{1}{RC}$) **groß** gegenüber der Signalbandbreite $\frac{1}{\tau}$ ist, d.h. $\frac{\tau}{RC}$ ist **groß**:

⇒ Die **Signalverzerrung** am Ausgang ist sehr **gering**.

Diese Erkenntnis entspricht der Zeitbereichsbetrachtung.

Beispiel:

Tiefpass-Filter mit Rechtecksimpuls am Eingang

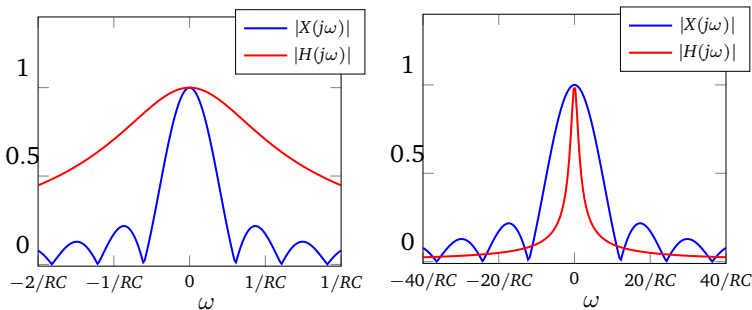


Abbildung: Amplitudengänge von $X(j\omega)$ und $H(j\omega)$ für a) $\frac{\tau}{RC} = 10$ und b) $\frac{\tau}{RC} = \frac{1}{2}$.

Ideale Filter

Lernziel der 10. Lerneinheit: WP 3 – LTI-Systeme im Frequenzbereich– Ideale Filter

In der 10. Lerneinheit beschäftigen wir uns mit der theoretischen Modellvorstellung der ideale Filter.

- Wir unterscheiden vier grundlegende Filtertypen: den Allpass-Filter, den Tiefpass-Filter, den Bandpass-Filter und den Hochpass-Filter.
- Ideale Filter werden im Frequenzbereich definiert und haben unendlich steile Flanken zwischen dem Durchlass- und dem Sperrbereich.
- Wir lernen, dass die zugehörigen Impulsantworten von idealen Filtern in positive wie auch negative Zeitrichtungen unendlich ausgedehnt sind und sich daher in der Praxis nicht als kausale Systeme umsetzen lassen.
- Die Modellvorstellung der idealen Filter hilft jedoch bei dem Verständnis von Systemen im Frequenzbereich.

Ideale Filter

Bekannt: Ein **LTI-System** kann als **Filter** aufgefasst werden.

- Bei der Modellierung, dem Entwurf und der Analyse eines praktischen Systems ist es häufig sinnvoll mit der Vorstellung von **idealisierten Filtern** zu arbeiten.

Ein idealer Filter ist im Frequenzbereich wie folgt charakterisiert:

- Im **Durchlassbereich** ist der Amplitudengang konstant (meistens konstant Eins).
- Im **Sperrbereich** ist der Amplitudengang identisch Null.
- Der Übergang von Durchlassbereich zu Sperrbereich hat **unendlich steile Flanken**.

Ideale Filter

Vier Arten idealer Filter

Vier Arten idealer Filter:

1. Allpass-Filter
2. Tiefpass-Filter
3. Bandpass-Filter
4. Hochpass-Filter

Ein **Stopband-Filter** lässt sich aus Bandpass-Filtern generieren (z.B. als $H_{SB}(j\omega) = 1 - H_{BP}(j\omega)$).

Häufige gilt die Anforderung, dass der **Phasengang** der Filter im **Durchlassbereich** linear (d.h. eine lineare Funktionen der Frequenz) ist. **Linearphasigkeit** garantiert, dass die Verzerrung des Eingangssignals im Durchlassbereich am Ausgang lediglich in einer Zeitverzögerung besteht (vergleiche **Verschiebungssatz**).

Beim **idealen linear-phasigen Tiefpass** bleibt die **Hüllkurve** des Eingangssignals im Durchlassbereich erhalten.

Linearphasiges Filter

Beispiel: Allpass

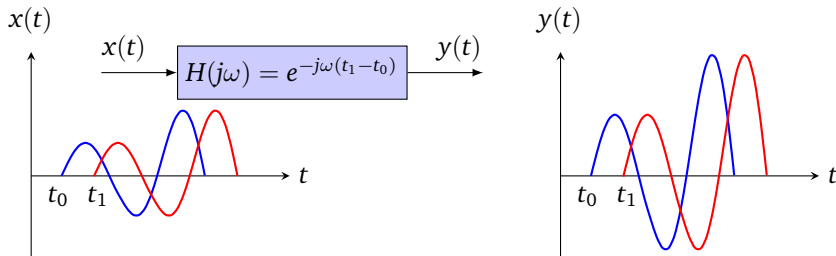


Abbildung: Linearphasiges Filter (Allpass).

- Ein **Allpass** hat einen konstanten Amplitudengang $|H(j\omega)| = 1$.
- Ist zusätzlich der **Phasengang linear**, d.h. $\arg\{H(j\omega)\} = -\omega\tau$, für beliebige Zeitverzögerungen τ , dann ist die Form des Eingangssignals am Ausgang **unverändert**.
- Dann wirkt sich das Allpassfilter auf das Eingangssignal lediglich in Form eine Zeitverzögerung des Signals um τ aus, d.h. $y(t) = x(t - \tau)$.

Idealer Tiefpass (reelles Zeitsignal)

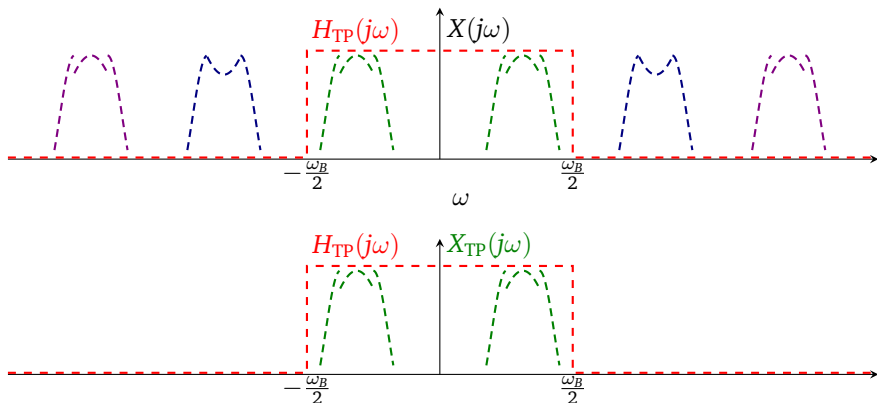


Abbildung: Amplitudengang eines idealen Tiefpasses.

Idealer Bandpass (reelles Zeitsignal)

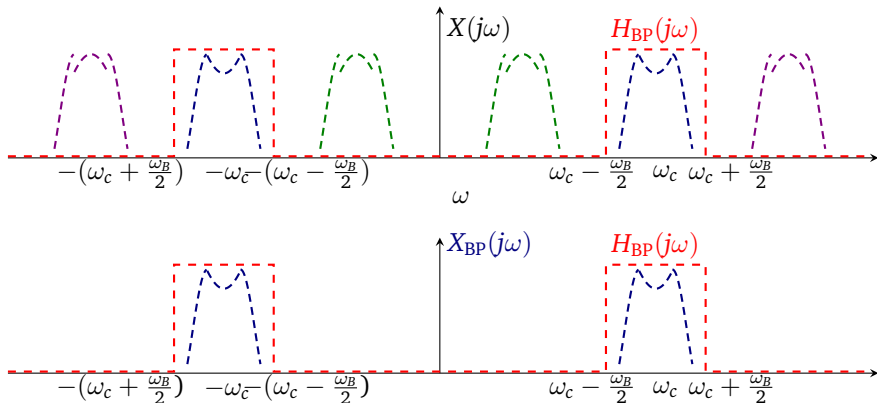


Abbildung: Amplitudengang eines idealen Bandpasses.

Idealer Hochpass (reelles Zeitsignal)

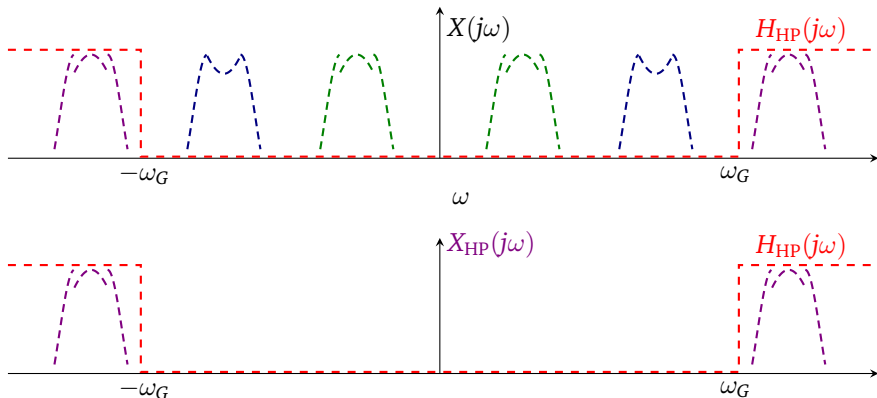


Abbildung: Amplitudengang eines idealen Hochpasses.

Idealer Filter (reelles Zeitsignal)

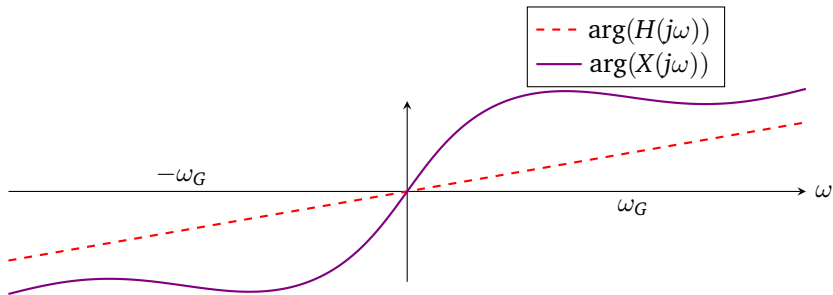


Abbildung: Phasengang eines idealen Filters mit Übertragungsfunktion $H(j\omega)$ (linearphasig)

Ideale Filter

Die Impulsantwort eines idealen Tiefpass-Filters ergibt sich als inverse Fourier-Transformierte der Übertragungsfunktion.

$h_{\text{TP}}(t)$ ist die Impulsantwort des **idealen Tiefpass-Filters**:

$$\begin{aligned}h_{\text{TP}}(t) &= \frac{1}{2\pi} \int_{-\infty}^{\infty} H_{\text{TP}}(j\omega) e^{j\omega t} d\omega \\&= \frac{1}{2\pi} \int_{-\infty}^{\infty} K r_{\frac{\omega_B}{2}}(\omega) e^{-j\omega t_0} e^{j\omega t} d\omega \\&= \frac{K\omega_B}{2\pi} \text{sinc} \left[\frac{\omega_B}{2\pi} (t - t_0) \right]\end{aligned}$$

Die Impulsantwort $h_{\text{TP}}(t)$ ist für $t < 0$ ungleich Null!

⇒ Der **ideale Tiefpass-Filter** ist **nicht-kausal**.

Die Impulsantwort klingt in positiver und negativer Zeitrichtung zwar mit steigendem $|t|$ ab, sie ist jedoch prinzipiell unendlich ausgedehnt.

Ideale Filter

Der **ideale Bandpass-Filter** mit der Mittenfrequenz ω_0 und der Bandbreite ω_B hat die Übertragungsfunktion:

$$H_{\text{BP}}(j\omega) = K \left[r_{\frac{\omega_B}{2}} (\omega - \omega_0) + r_{\frac{\omega_B}{2}} (\omega + \omega_0) \right] e^{-j\omega t_0}$$

Die Impulsantwort $h_{\text{LP}}(t)$ des Tiefpasses ergibt sich aus der Korrespondenz

$$x(t) \cos(\omega_0 t) \circ \bullet \frac{1}{2} [X(\omega - \omega_0) + X(\omega + \omega_0)]$$

Die Impulsantwort des Bandpass-Filters ist daher

$$h_{\text{BP}}(t) = \frac{K\omega_B}{\pi} \text{sinc} \left[\frac{\omega_B}{2\pi} (t - t_0) \right] \cos[\omega_0(t - t_0)]$$

Ideale Filter

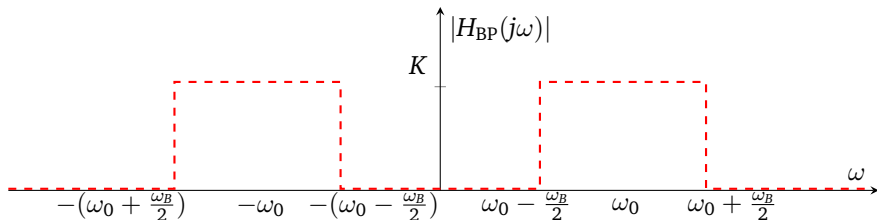


Abbildung: Amplitudengang eines idealen Bandpassfilters.

Ideale Filter

Die Übertragungsfunktion eines **idealen Hochpass-Filters** mit der Grenzfrequenz $\frac{\omega_B}{2}$ ist

$$H_{\text{HP}}(j\omega) = K \left[1 - r_{\frac{\omega_B}{2}}(\omega) \right] e^{-j\omega t_0}$$

$H_{\text{TP}}(j\omega)$ ist die Übertragungsfunktion eines idealen Tiefpass-Filters mit der Grenzfrequenz $\frac{\omega_B}{2}$.

Dann ist $H_{\text{HP}}(j\omega) = 1 - H_{\text{TP}}(j\omega)$ und die zugehörige Impulsantwort

$$h_{\text{HP}}(t) = K\delta(t - t_0) - \frac{K\omega_B}{2\pi} \text{sinc} \left[\frac{\omega_B}{2\pi}(t - t_0) \right]$$

Ideale Filter

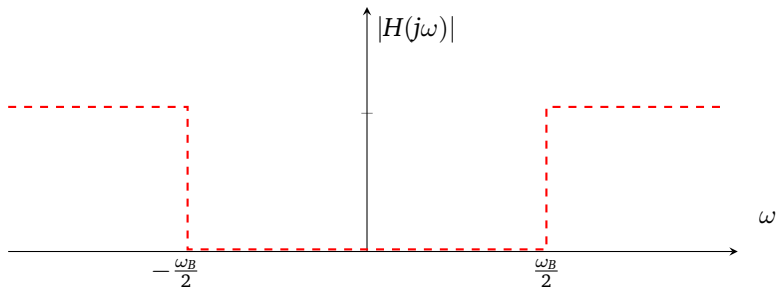


Abbildung: Amplitudengang eines idealen Hochpass-Filters.